

بهینه‌سازی سیستمهای تعليق غيرفعال

اکبر نانپزی مهدوی

دانشجوی کارشناسی ارشد

سعید طاهری

استادیار

دانشکده مهندسی مکانیک، دانشگاه صنعتی امیرکبیر

چکیده

اگرچه خودروهای امروزی به حالت بهینه خود رسیده‌اند، اگر نگاهی نزدیکتر به شاسی و سیستمهای مرتبط انداخته شود مشاهده می‌کنیم که یک دهه کار در طراحی یک سیستم تعليق و یا فرمان نهفته می‌باشد. همانطور که می‌دانیم، طراحی یک سیستم تعليق خوب که راحتی سفر، چسبندگی به جاده و عملکرد خوب خودرو در مانورها را تضمین کند کاری بسیار می‌باشد. در این مقاله یک نرم‌افزار کامپیوتری که طراحی و بهینه‌سازی سیستمهای تعليق مختلف را اجازه می‌دهد ارائه شده است. این نرم‌افزار جهت طراحی سیستم تعليق جلو و عقب یک خودرو جدید استفاده شده است.

Optimization of Passive Suspension Systems

S. Taheri

Assistant Prof.

A. N. Mahdavi

Graduate Student

Mechanical Engineering Department Amirkabir Univ.

ABSTRACT

Although vehicles that we see on the road today have reached a state of perfection, if a closer look is taken under the chassis, it can be seen that a decade of work is summarised in a good suspension or steering system design. As has been known, designing suspension system that provides good ride and road holding at the same time as good handling is a very hard task to accomplish.

In this paper, a computer package which allows modelling and optimisation of different suspension types is developed and used in designing front and rear suspension system for a new vehicle.

تعیین گرددیده باشند آیا می‌توان مقادیر بهینه‌ای را برای پارامترهای سیستم تعليق محاسبه نمود تا با استفاده از آنها بتوان رفتار دینامیکی و عکس العمل مناسبی برای خودرو بدست آورد؟ برای تعیین مقادیر المانهای سیستم تعليق، معیارهایی موردنظر می‌باشند که به تفصیل در این ارتباط مطالعی مطرح می‌شود.

۱- مقدمه

یکی از مسائل حائز اهمیت در بررسی آرامش حرکتی خودرو آن است که اگر مشخصات کلی ناهمواریهای پروفیل سطوح جاده و اجزاء مکانیکی سیستم تعليق خودرو مانند فرلهای، کمک فرلهای، تایرهای و جرمها و ترتیب استقرار و آرایش آنها

کلاسیک توافقی مرسوم است.
در طراحی و بهینه سازی سیستم تعیق خودرو مراحل زیر دنبال شده است:

- ۱ - مدل ریاضی تحریک جاده نمایش داده شده است.
- ۲ - یک مدل برای حرکت خودرو در نظر گرفته شده است. مثلاً برای بررسی کیفیت راحتی سفر ابتدا مدل $1/4$ خودرو در نظر گرفته شده است.
- ۳ - برای مدل در نظر گرفته شده مدل ریاضی بدست آمده است.
- ۴ - حال با توجه به پارامترهای سیستم تعیق، معیار در نظر گرفته شده بر حسب این پارامترها مرتب شده و با توجه به تکنیکهای بهینه سازی این مقادیر بدست آمده است. مثلاً برای معیار نگهداری جاده پس از تعیین نیروی واردہ بر جاده مقدار این نیرو مینیمم شده و مقادیر به ازای نیروی کمینه شده بدست آمده است.

۳- بررسی مدل $1/4$ خودرو

معمولًاً جهت تعیین المانهای مربوط به سیستم تعیق غیرفعال با توجه به معیارهای زیر از مدل $1/4$ خودرو استفاده می‌شود

[۱-۳]. این معیارها عبارتند از:

- ۱- شتاب قائم وارد بر بدن خودرو (X)
 - ۲- تغییر مکان ایجاد شده در سیستم تعیق (X1)
 - ۳- تغییر شکل تایر یا حداقل نیروی واردہ بر جاده از تایر به منظور حفظ جاده (X3)
- معادلات حرکت فوق در فضای حالت عبارت است از:

$$\begin{bmatrix} \dot{X}_1 \\ \dot{X}_2 \\ \dot{X}_3 \\ \dot{X}_4 \end{bmatrix} = \begin{bmatrix} 0 & 1 & 0 \\ \frac{-K_s}{m_s} & \frac{-c_s}{m_s} & 0 \\ 0 & 0 & 0 \\ \frac{K_u}{m_u} & \frac{c_u}{m_u} & \frac{-K_u}{m_u} \end{bmatrix} \begin{bmatrix} X_1 \\ X_2 \\ X_3 \\ X_4 \end{bmatrix}$$

تابع تبدیل تغییر مکان تعیق عبارت است از:

$$H_{x1}(\omega) = \frac{X_1}{V_i} = -\frac{k_u m_s I\omega}{D_p(\omega)} - \frac{\omega^2 m_s c_u}{D_p(\omega)} \quad (3)$$

$$= -\frac{\omega(c_u \omega + I k_u) m_s}{D_p(\omega)}$$

$$H_{x3}(\omega) = \frac{[(m_s c_s + 2m_s c_u + m_u c_s) \omega^2 - k_s c_u] + [m_s m_u \omega^3 - (2 c_s c_u + k_s m_u + k_s m_s) \omega] I}{D_p(\omega)} \quad (4)$$

امیرکبیر / سال هشتم / شماره ۲۹

در رابطه با کیفیت و راحتی سفر برای راننده و سرنشیان شتاب اتومبیل در جهت قائم به عنوان رفتار دینامیکی خودروها در نظر گرفته می‌شود. برای محافظت از سطوح جاده از خرابی‌های ناشی از اثر نیروهای دینامیکی واردہ از تایرها می‌باشد فشار باد بر نایابداری و هدایت خودرو تأثیر منفی نگذارد. معیار دیگر که در رابطه با محدودیت فضا و جا برای طراح مورد نظر است جابجایی‌های مختلف المانهای سیستم تعیق می‌باشد که این محدودیت حرکت بعنوان قید در طراحی المانهای سیستم تعیق وارد می‌شوند. بدینهی است که انتخاب پارامترهای سیستم تعیق نقش بسیاری روی نایابداری خودرو ایفاء می‌کند. بنابراین بررسی هندلینگ^۱ نیز جهت انتخاب پارامترهای سیستم تعیق ضروری به نظر می‌رسد.

در این مقاله با توجه به معیارهای گفته شده، پارامترهای سیستم تعیق بدست آمده و تا حد امکان برای یک سیستم تعیق غیرفعال بهینه شده است. آنالیز دینامیکی انجام شده و معیارهای مذکور هر یک مورد بررسی قرار گرفته و مقادیر ممکن و دلخواه برای انتخاب اولیه در یک خودرو مشخص شده است.

۲- طراحی و بهینه سازی

تعیق پسیو مرسوم مشکل از دو المان غیرفعال می‌باشد. فنرها و دمپرهای پیشرفت و بهبود راحتی، المانهای پسیو می‌باشد نرم باشند، اما برای Handling خوب، فنرها و دمپرهای می‌باشد سخت باشند تا اینکه خواص خوبی از Handling جاده نگهداری آن بدست آید. این مسئله به طراحی تعیق

$$\begin{bmatrix} \dot{X}_1 \\ \dot{X}_2 \\ \dot{X}_3 \\ \dot{X}_4 \end{bmatrix} = \begin{bmatrix} 0 & 1 & 0 \\ \frac{c_s}{m_s} & 1 & 0 \\ 0 & 0 & 0 \\ \frac{-c_s}{m_s} & \frac{c_u}{m_u} & \frac{-c_u}{m_u} \end{bmatrix} \begin{bmatrix} X_1 \\ X_2 \\ X_3 \\ X_4 \end{bmatrix} + \begin{bmatrix} 0 \\ 0 \\ -1 \\ \frac{-c_u}{m_u} \end{bmatrix} V_i \quad (1)$$

تابع تبدیل شتاب قائم جرم ارجاعی عبارت است از:

$$H_{x2}(\omega) = \frac{S X_2}{V} = \frac{I \omega X_2}{V_i} \quad (2)$$

$$= \frac{I \omega ((k_u k_s + \omega^2 c_s c_u) - \omega^2 (k_u c_s - k_s c_u))}{D_p(\omega)}$$

تابع تبدیل تغییر فرم تایر نیز عبارت است از:

$$D_p(\omega) = m_u m_s \omega^4 - [(m_u + m_s)c_s + m_s c_u]I\omega^3 - [(m_u + m_s)k_s + m_s k_u]\omega^2 + (k_u c_s + k_s c_u)I\omega + k_s k_u \quad (4)$$

می شود (شکل ۷). برای رسم منحنی یکبار نسبت سختی ^۹ (k_s/k_u) را ثابت فرض می کنیم و مقدار نسبت استهلاک ^{۱۰} را از $1/2$ تا 1 تغییر می دهیم و باز دیگر به ترتیب عکس عمل می کنیم یعنی بهازای نسبت استهلاک ثابت، نسبت سختی را از 5 تا 20 تغییر می دهیم. سطح تشکیل شده بین این منحنیها نشان دهنده عملکرد قابل قبول مدل در نظر گرفته شده می باشد.

در بدست آوردن سطح عملکرد، مقادیر معمول فرکانس طبیعی خصوصاً فرکانس وارد به سرنوشت از فاکتورهای بسیار مؤثر می باشند. مثلاً اگر نسبت سختی و نسبت استهلاک را بترتیب 30 و $1/1$ اختیار کنیم محدوده فرکانسی غیرقابل قبولی برای بدن و تعليق خواهیم داشت و ارتعاشات وارد به بدن را نمی توان ایزووله نمود.

عمولاً نسبت سختی حول 10 بعنوان نسبت سختی مناسب در نظر گرفته می شود و افزایش آن بیش از نسبت 20 موجب رفتار نامناسب سیستم جهت ایزووله نمودن ارتعاشات می گردد. بنابراین برای بدست آوردن سطح عملکرد قید تغییر مکان سیستم تعليق، ایزووله نمودن و محدوده فرکانسی قابل قبول از پارامترهای مؤثر می باشند.

برای بررسی ایزوولاسیون با توجه به رابطه (۲) می توان تابع تبدیل شتاب قائم جرم ارجاعی را بصورت تابعی از سختی فنر و ضریب استهلاک رسم نمود (شکل ۸).

۴- نگهداری چاده

در صورتی که از ضریب مستهلاک کننده ^{۱۲} جرم غیر ارجاعی صرفنظر نمایم، در این صورت نیروی وارد بر چاده از طرف تابع با تغییر مکان نسبی جرم غیر ارجاعی و چاده متناسب می باشد [۴] یعنی :

$$F_h = k_u \cdot |x_I - x_0| \quad (7)$$

از طرف دیگر برای بدست آوردن تغییر مکان نسبی مذکور می توان نوشت :

$$\lim_{1/t} \int |x_I - x_0| dt = AV(M^2/(2k_u m_s))^* c_s + (m_u/2 - (k_s m_u M)/(k_u M s))^* m_s + k_s^2 M^3/(2(k_u m_s)^2)/c_s \quad (8)$$

$$E[X_3^3] = \frac{\pi S_0 ((m_u + m_s)[(m_u + m_s)^2 k_s^2 + k_u [(m_u + m_s) c_s^2 - 2k_s m_u m_s]] + m_u m_s^2 k_u^2)}{k_u^2 c_s^2 m_s^2} \quad (6)$$

۳- پاسخ خودروی مجهز به سیستم تعليق غیرفعال به ورودی های ناشی از چاده

همانطور که قبل نیز گفته شد در ارتباط با کیفیت و راحتی سفر ^۳ برای راننده و سرنشینان شتاب اتومبیل در امتداد قائم بعنوان رفتار دینامیکی خودروها درنظر گرفته می شود.

در این بخش نیز rms شتاب قائم جرم ارجاعی برای سنجش ارتعاشات وارد بر بدن، rms حرکت سیستم تعليق جهت سنجش امکان حرکت سیستم تعليق و rms تغییر فرم تایر برای درنظر گرفتن معیار نگهداری چاده درنظر گرفته شده اند.

اگر خودرو بصورت یک سیستم خطی مدل شود که یک اغتشاش سفید ^۴ روی آن اعمال شده باشد در این صورت مربع متوسط پاسخ ^۵ با رابطه زیر بیان می شود :

$$E(y^2) = S_0 \int_{-\infty}^{\infty} |H_y(\omega)|^2 d\omega \quad (5)$$

جائیکه S_0 دانسیته طیفی ^۶ از ورودی اغتشاش و $H_y(\omega)$ تابع تبدیل مرتبط با متغیر پاسخ y به ازای اغتشاش ایجاد شده می باشد.

با جایگزینی روابط (2) و (4) در رابطه (۵) در رابطه rms شتاب قائم و تغییر مکان سیستم تعليق و تغییر فرم تایر دست پیدا کرد : $(E(y^2) = S_0)$ رابطه (۶)

تغییرات فرکانسی مربوط به rms شتاب وارد به جرم ارجاعی و تغییر فرم تایر و تغییر مکان سیستم تعليق ^۷ در شکلهای (4) ، (5) و (6) تماش داده شده است. بدیهی است مقادیری که موجب می شوند تا معیارهای ذکر شده بیشترین مقدار ممکنه خود را دارا باشند بعنوان فرکانس طبیعی در نظر گرفته می شوند. پارامترهای مورد استفاده در جدول (1) نشان داده شده است.

جهت بررسی رفتار شتاب بر حسب تغییر جابجایی سیستم تعليق بصورت دو معیار کاملاً مرتبط از منحنیهای مبادله ^۸ استفاده

$$E[X_1^2] = \frac{\pi S_0 (m_u m_s)}{c_s} \quad (6)$$

$$E[X_2^2] = \frac{\pi S_0 (m_u + m_s) k_s^2 + k_u c_s^2}{m_s^2 c_s^2} \quad (6)$$

با حل دستگاه معادلات (۱۱) می‌توان مقادیر K_s و C_s را بصورت زیر بدست آورد:

$$K_s = \frac{k_u m_s m_u}{M^2} \quad (12)$$

$$C_s = \frac{\sqrt{k_s^2 k_u M^3 - 2k_u^2 k_s m_u m_s M + k_u^3 m_u m_s^2}}{MK_u}$$

ملحوظه می‌شود که در این روابط مقادیر سختی و ضریب مستهلك کننده از سرعت و ناهمواری جاده^{۱۴} مستقل می‌باشد و برای بدست آوردن بهترین نگهداری از جاده سختی و ضریب دمپر می‌باشد با مقادیر بهینه تنظیم شوند. برای نمایش بهتر تأثیر سختی و ضریب مستهلك کننده^{۱۵} با توجه به رابطه (۹) می‌توان برای یک فرکانس قابل قبول نیروی واردہ بر جاده را بصورت تابعی از این پارامترها بدست آورد و تأثیر هر دو ترم را مشاهده نمود (شکل ۹).

برای مقادیر داده شده در جدول (۱)، جهت ارضا معيار نگهداری جاده پارامترهای تعليق در جلو و عقب خودرو عبارتند از:

$$KS1 = 37904.25, KS4 = 37904.25 \quad \text{جلوی خودرو:}$$

$$CS1 = 1951.08, CS4 = 1951.08$$

$$KS1 = 50437.44, KS4 = 50437.44 \quad \text{عقب خودرو:}$$

$$CS1 = 2058.34, CS4 = 2058.34$$

جایی که A سطح جاده^{۱۳} و V سرعت خودرو می‌باشد و $M = m_s + m_u$ با توجه به رابطه اخیر نیروی وارد بر جاده عبارتست از:

$$F_{rh} = \sqrt{A} \sqrt{V^*} \sqrt{(k_u^2)^* (M^2/(2k_u m_s))^* c_s} \\ + (m_u/2 - k_s m_u M/(k_u m_s)) \\ + k_s^2 M^3/(4k_u m_s)^2 c_s \quad (9)$$

نیروی واردہ به جاده در واقع از rms تابع تبدیل تغییر مکان دینامیکی تایر بدست آمده است و روش بدست آوردن آن قبل از ذکر شده است.

حال اگر بخواهیم المانهای مربوط به سیستم تعليق را بدست آوریم کافی است در رابطه اخیر تابع بدست آمده را کمینه کنیم تا بدینوسیله مقادیر پارامترهایی که این تابع کمینه را ایجاد می‌کنند بدست آیند.

$$\partial F_{rh}/\partial K_s = 0 \quad \text{و} \quad \partial^2 F_{rh}/\partial C_s^2 > 0$$

و

$$\partial^2 F_{rh}/\partial C_s^2 \times \partial^2 F_{rh}/\partial K_s^2 > \partial^2 F_{rh}/\partial C_s \partial K_s \quad (10)$$

با جایگزینی رابطه (۹) در رابطه (۱۰) برای المانهای سیستم تعليق روابط زیر بدست می‌آید:

$$\sqrt{A} \sqrt{V} k_u \left[\frac{1}{2} \frac{(m_s + m_u)^2}{k_u m_u^2} - \frac{\frac{1}{2} m_s - \frac{k_s m_s (m_s + m_u)}{k_u m_u} + \frac{1}{4} \frac{k_s^2 (m_s + m_u)^3}{k_u^2 m_u^2}}{c_s^2} \right] \\ \frac{1}{2} \sqrt{\frac{1}{2} \frac{(m_s + m_u)^2 c_s}{k_u m_u^2} + \frac{\frac{1}{2} m_s - \frac{k_s m_s (m_s + m_u)}{k_u m_u} + \frac{1}{4} \frac{k_s^2 (m_s + m_u)^3}{k_u^2 m_u^2}}{c_s}} = 0 \quad (11)$$

$$\sqrt{A} \sqrt{V} k_u \left[-\frac{m_s (m_s + m_u)}{k_u m_u} + \frac{1}{2} \frac{k_s (m_s + m_u)^3}{k_u^2 m_u^2} \right] \\ \frac{1}{2} \sqrt{\frac{1}{2} \frac{(m_s + m_u)^2 c_s}{k_u m_u^2} + \frac{\frac{1}{2} m_s - \frac{k_s m_s (m_s + m_u)}{k_u m_u} + \frac{1}{4} \frac{k_s^2 (m_s + m_u)^3}{k_u^2 m_u^2}}{c_s}} = 0 \quad .$$

حرکت قائم چرخ جلو :

$$\ddot{z}_f + (c_f + c_T)/m_r^* \ddot{z}_f + (k_f + k_T)/m_f^* z_f - c_f/m_f^* \dot{z} - k_f/m_f^* z \\ - ac_f/m_f^* \dot{\theta} - ak_f/m_f^* \theta - c_T/m_f^* \dot{y}_f - k_T/m_T^* y_f = 0 \quad (19)$$

حرکت قائم چرخ عقب :

$$\ddot{z}_r + (c_r + c_T)/m_r^* \ddot{z}_r + (k_r + k_T)/m_r^* \dot{z}_r + (k_r + k_T)/m_r^* z_r \\ - c_r/m_r^* \dot{z} - k_r/m_r^* z + bc_r/m_r^* \dot{\theta} + bk_r/m_r^* \theta \\ - c_T/m_r^* \dot{y}_r - k_T/m_r^* y_r = 0 \quad (20)$$

معمولًا در مدل ۱/۲ خودرو رفتار کله زنی ^{۲۲} و حرکت قائم بدنه ^{۲۳} باهم مورد بررسی قرار می‌گیرند. در این مدل فرکانس‌های طبیعی مناسب برای هر دو رفتار بدست آمده و گاهی بصورت معکوس با فرکانس طبیعی قابل قبول سختی سیستم تعلیق جلو و عقب را بدست می‌آورند.

در صورتی که رفتار کله زنی و حرکت قائم بدنه (مدل دو درجه آزادی) را در نظر بگیریم، در این صورت با فرکانس‌های wn2 و wn3 پارامترهای تعلیق بصورت زیر بدست می‌آیند:

$$k_r = \text{RootOf}((b^3 + 2a^2br_y + a^2b + 2ab^2 + ab^2r_y + a^3r_y)Z^2 + (-b^2\omega_{n2}^2 m_s ar_y - b^2\omega_{n1}^2 m_s ar_y) \\ - 2ba^2\omega_{n1}^2 m_s r_y - a^3\omega_{n1}^2 m_s r_y - a^3 + \omega_{n2}^2 m_s r_y \\ - 2ba^2\omega_{n2}^2 m_s r_y) Z + a^3\omega_{n1}^2 m_s^2 \omega_{n2}^2 r_y \\ + \omega_{n1}^2 m_s^2 a^2 br_y^2 \omega_{n2}^2) \\ k_f = b(-ar_y) \text{RootOf}((b^3 + 2a^2br_y + a^2b + 2ab^2 + ab^2r_y + a^3r_y)Z^2 + (-b^2\omega_{n2}^2 m_s ar_y \\ - b^2\omega_{n1}^2 m_s ar_y - 2ba^2\omega_{n1}^2 m_s r_y - a^3\omega_{n1}^2 m_s r_y \\ - a^3\omega_{n2}^2 m_s r_y - 2ba^2\omega_{n2}^2 m_s r_y) Z \\ + a^3\omega_{n1}^2 m_s^2 \omega_{n2}^2 r_y + \omega_{n1}^2 m_s^2 a^2 br_y^2 \omega_{n2}^2) \\ - \text{RootOf}((b^3 + 2a^2br_y + a^2b + 2ab^2 + ab^2r_y + a^3r_y)Z^2 + (-b^2\omega_{n2}^2 m_s ar_y - b^2\omega_{n1}^2 m_s ar_y \\ - 2ba^2\omega_{n1}^2 m_s r_y) - a^3\omega_{n1}^2 m_s r_y - a^3\omega_{n2}^2 m_s r_y \\ - 2ba^2\omega_{n2}^2 m_s r_y) Z + a^3\omega_{n1}^2 m_s^2 \omega_{n2}^2 r_y \\ + (\omega_{n1}^2 m_s^2 a^2 br_y^2 \omega_{n2}^2) b + \omega_{n1}^2 m_s ar_y \\ + \omega_{n2}^2 m_s ar_y)/(a(a + br_y)) \quad (21)$$

۵- مدل نصف خودرو

برای بررسی تأثیر کله زنی ^{۱۶} و حرکت قائم بدنه بر روی المانهای سیستم تعلیق و همچنین ارتباط بین سختی فر در جلو و عقب خودرو از مدل ۱/۲ خودرو استفاده می‌شود.

بطوری که در شکل (۲) مشاهده می‌شود مدل مذکور دارای ۴ درجه آزادی می‌باشد که بترتیب عبارتند از:

۱- حرکت قائم بدنه

۲- حرکت مربوط به کله زنی

۳- تغییر مکان قائم اجرام ارجاعی در جلو و عقب خودرو ^{۱۷}

۱- تعیین معادلات حرکت برای مدل در نظر گرفته شده

حرکت قائم جرم ارجاعی ($\sum F_m = m_s \ddot{z}$)

$$-k_f(z + a\theta - z_f) - c_f(\dot{z} + a\dot{\theta} - \dot{z}_f) \\ - k_r(z - b\theta - z_r) - c_r(\dot{z} - b\dot{\theta} - \dot{z}_r) = m_s \ddot{z} \quad (13)$$

معادله مربوط به کله زنی جرم ارجاعی ($\sum T_M = m_f \ddot{z}_f$):

$$k_r b(z - b\theta - z_r) + c_r b(\dot{z} - b\dot{\theta} - \dot{z}_r) \\ - k_f a(z + a\theta - z_f) - c_f a(\dot{z} + a\dot{\theta} - \dot{z}_f) = J \ddot{\theta} \quad (14)$$

حرکت قائم جرم غیر ارجاعی جلو:

$$-k_T(z_f - y_f) - c_T(\dot{z}_f - \dot{y}_f) \\ + k_f(z + a\theta - z_f) + c_f(\dot{z} + a\dot{\theta} - \dot{z}_f) = m_f \ddot{z}_f \quad (15)$$

حرکت قائم جرم غیر ارجاعی عقب خودرو:

$$-k_T(z_r - y_r) - c_T(\dot{z}_r - \dot{y}_r) + k_r(z - b\theta - z_r) \\ + c_r(z - b\theta - z_r) = m_s \ddot{z}_r \quad (16)$$

حرکت قائم بدنه:

$$\ddot{z} + (c_f + c_r)/m_s \dot{z} + (k_f + k_r)/m_s \dot{z} \\ + (ac_f - bc_r)/m_s \dot{\theta} + (ak_f - bk_r)/m_s \dot{\theta} \\ - c_f/m_s \dot{z}_f - k_f/m_s \dot{z}_f - c_r/m_s \dot{z}_r - k_r/m_s \dot{z}_r = 0 \quad (17)$$

حرکت کله زنی بدنه:

$$\ddot{\theta} + (a^2 c_f + b^2 c_r)/J^* \dot{\theta} + (a^2 k_f + b^2 k_r)/J^* \dot{\theta} \\ + (ac_f - bc_r)/J^* \dot{z} + (ak_f - bk_r)/J^* z - ac_f/J^* \dot{z}_f \\ - ak_f/J^* z_f + bc_r/J^* \dot{z}_r + bk_r/J^* z_r = 0 \quad (18)$$



$$A_r = e_2 \Phi - (V - br + g_2 P)/U \quad (26)$$

ج - غلتش ایجاد شده بواسطه تغییر در گمبر : از دیگر پارامترهای مؤثر بر زاویه غلتش، تغییرات کمبر می باشد و در این ارتباط قبل از بیان نیروهای جانبی و ممانهای میزان کننده، این ضرایب را تعریف می کیم :

camber thrust coefficient:

$$\partial Y/\partial \Phi|_{1,2} = c_{1,2} \quad (27)$$

wheel camber with roll:

$$\partial \Phi/\partial \Phi = q_{1,2} \quad (28)$$

۶- مدل ریاضی

با توجه به شرایط ذکر شده در بالا نیروها و ممانها عبارتند از :

$$Y_1 = c_1 A_f + c_1 q_1 \Phi \quad (29)$$

$$Y_2 = c_2 A_f + c_2 q_2 \Phi \quad (30)$$

$$N_1 = T_1 A_f = T_1 (S + e_1 \Phi - (V + ar + g_1 P)/U) \quad (31)$$

$$N_2 = T_2 A_f = T_2 (e_2 \Phi - (V - br + g_2 P)/U) \quad (32)$$

معادلات کلی حرکت برای مدل درنظر گرفته شده عبارتست از :

$$m(V + Ur) = Y_1 + Y_2 \quad (33)$$

$$I_z \ddot{\theta} = a Y_1 - b Y_2 + N_1 + N_2 \quad (34)$$

$$I_x \ddot{P} + c \Phi P + K_\Phi \Phi = g_1 Y_1 + g_2 Y_2 \quad (35)$$

جایی که :

$$K\Phi = K\Phi_1 + K\Phi_2 \quad (36)$$

$$c\Phi = c\Phi_1 + c\Phi_2 \quad (37)$$

همچنین $K\Phi_1$ و $K\Phi_2$ بترتیب عبارتند از :

$$K\Phi_1 = (k_f t_f^2)/2 \quad (38)$$

$$K\Phi_2 = (k_r t_r^2)/2 \quad (39)$$

$$K_f = (k_s k_u)/(k_s + k_u) \quad (40)$$

$$k_f \approx k_s$$

برای بررسی حالت پایدار $\dot{\theta} = 0$ کافی است در معادلات بدست آمده V ، P و θ را ثابت فرض نمود. در این حالت نسبت لغزش جانبی (Side Slip) و سرعت لغزش (Yaw Velocity) و زاویه غلتش (Roll Angle) در نمودارهای مربوطه نمایش داده شده است.

با افزایش سختی غلتش عملکرد خودرو از نظر پایداری بهتر می شود و خودرو در حالت OS و US رفتار بهتری از خود نشان می دهد شکلهاي (۱۰-۱۵).

با جایگزینی مقادیر لازم از جدول (۱) و فرکانسهاي $9/2 \text{ rad/s}$ و $6/8 \text{ rad/s}$ سختی فر در عقب $KS2=40928$ و جلوی خودرو $kS1=34301$ بدست می آیند [۶ و ۵].

۷- تأثیر سختی سیستم تعليق بر روی پاسخ هندلینگ :

در این قسمت، هدف بررسی تأثیر سختی غلتشی 2^6 بر روی پاسخ هندلینگ سیستم می باشد. بدین منظور یک مدل ریاضی خطی جهت بررسی لغزش جانبی 2^7 ، سرعت انحراف و زاویه غلتش 2^9 بکار گرفته می شود.

با توجه به مدل درنظر گرفته شده برای دو حالت US 30 و OS 31 و برای سرعتهای مختلف خودرو تأثیر سختی بررسی می گردد [۸ و ۷].

مدل درنظر گرفته شده در این قسمت به مدل Segel مشهور بوده و این مدل برای شتاب جانبی کمتر از $g/3$ در مقایسه با مدلهاي کامل خودرو که از تست خودرو بدست آمده پاسخ قابل قبولی می دهد.

متغیرهای لغزش جانبی (Side Slip)، سرعت انحراف (Yaw Velocity) و زاویه غلتش (Roll Angle) در این گزارش مورد توجه می باشند. بدینه است که در مدل درنظر گرفته شده جهت بدست آوردن پارامترهای مذکور می باشد زاویه فرمان بصورت ورودی داده شود (شکل ۳).

قبل از بیان معادلات ریاضی حاکم بر مدل درنظر ابتدا شرایط ارتباط دهنده نیروی جانبی و ممان میزان کننده 32 تایر به حرکت غلتشی را بیان می کیم :

الف - تأثیر تغییر فرم تایر در طرفین خودرو بر روی سرعت غلتشی : نسبت تغییر فرم تایر به زاویه غلتش بصورت زیر بیان می شود :

$$\frac{dy}{d\Phi}|_{1,2} = g_{1,2} \quad (42)$$

سرعت جانبی ایجاد شده بواسطه حرکت غلتشی نیز عبارت است از :

$$\frac{dy}{d\Phi} \cdot P = gP \quad (43)$$

ب - تأثیر فرماندهی بر روی غلتش : ضرایب نشان دهنده تأثیر فرمان به روی غلتش (Roll Steer) بصورت زیر بیان می شود :

$$\frac{ds}{d\Phi}|_{1,2} = e_{1,2} \quad (44)$$

با فرض زوایای لغزش مشابه در چپ و راست خودرو می توان نوشت :

$$A_f = s + e_1 \Phi - (V + ar + g_1 P)/U \quad (45)$$

۷- مدل کامل خودرو

هدف از این مدل‌سازی ارائه یک مدل کامل اتومبیل که نمایش خوبی از آثار مؤلفه‌های تعلیق در رفتار دینامیکی عمومی خودروی مسافری است، می‌باشد.

نمودار مدل هشت درجه آزادی خودرو در شکل (۱۶) دیده می‌شود. جرم ارتجاعی قابلیت حرکتهای غلتشی، کله‌زنی و حرکت عمودی بدن را دارا و جرم‌های غیرارتجاعی تنها می‌توانند آزادانه نسبت به جرم ارتجاعی حرکت کنند. سرنوشنین نیز می‌توانند در راستای قائم حرکت داشته باشد. متغیرهای حالت

موردنظر در این تحلیل به قرار زیرند:

X₁: حرکت قائم چرخ سمت چپ جلو

X₂: سرعت قائم چرخ سمت چپ جلو

X₃: حرکت قائم چرخ سمت راست جلو

X₄: سرعت قائم چرخ سمت راست جلو

X₅: حرکت قائم چرخ سمت چپ عقب

X₆: سرعت قائم چرخ سمت چپ عقب

X₇: حرکت قائم چرخ سمت راست عقب

X₈: سرعت قائم چرخ سمت راست عقب

X₉: حرکت قائم جرم ارتجاعی

X₁₀: سرعت قائم جرم ارتجاعی

X₁₁: حرکت غلتشی جرم ارتجاعی

X₁₂: سرعت زاویه‌ای غلتشی جرم ارتجاعی

X₁₃: حرکت کله‌زنی جرم ارتجاعی

X₁₄: سرعت زاویه‌ای کله زنی جرم ارتجاعی

X₁₅: حرکت قائم سرنوشنین

X₁₆: سرعت قائم سرنوشنین

فرم این معادلات را می‌توان بصورت زیر نوشت:

$$X = AX + BU \quad (41)$$

X: بردار شانزده متغیر حالت

U: بردار هشت اختشاش جاده

A: ماتریس (16×16) سیستم

B: ماتریس (16×16) اختشاش

فرم معادلات مربوطه به صورت $CX = Y$ است.

متغیرهای کارآیی در نظر گرفته شده عبارتند از:

۱۳: شتاب عمودی مرکز ثقل جرم ارتجاعی

۱۴: شتاب زاویه‌ای کله زنی جرم ارتجاعی

۱۵: شتاب زاویه‌ای غلتشی جرم ارتجاعی

- ۱۶: شتاب عمودی راننده
- ۱۷: مجموع جابجایی‌های متعاقب در چهارگوش
- ۱۸: تفاوت‌های جابجایی‌های تعلیق در چهارگوش
- ۱۹: تفاوت‌های جابجایی‌های تعلیق در جلو و عقب اتومبیل
- ۲۰: مجموع سرعتهای اجرام غیرارتجاعی
- ۲۱: اختلاف سرعتهای اجرام غیرارتجاعی در چپ و راست
- ۲۲: اختلاف سرعتهای اجرام غیرارتجاعی در عقب و جلو
- ۲۳: اختلاف سرعتهای اجرام غیرارتجاعی بطور قطری
- ۲۴: پس از تعیین پارامترهای سیستم تعلیق در بخش‌های قبل نتایج بدست آمده بعنوان ورودیهای مدل کامل درنظر گرفته شده و فرکانس‌های طبیعی و نسبتی استهلاکی 34 و همچنین مشخصه‌های کارآیی سیستم به ازای ورودی جاده بدست آمده و نتایج مورد بررسی قرار می‌گیرند.

۸- نتیجه‌گیری

با توجه به معیارهای بدست آمده ملاحظه می‌شود که در صورت کاهش سختی، شتاب وارده به بدن رفتار مناسبی از خود نشان می‌دهد و ایزووله نمودن ارتعاشات بهتر صورت می‌گیرد لیکن قید پائین بصورت $20^{\circ}/\text{sec}^2$ می‌باشد و بنابراین کاهش سختی و افزایش نسبت سختی برای ایزووله نمودن ارتعاشات لازم می‌باشد. ولی از طرف دیگر کاهش سختی موجب عملکرد خودرو به سمت نایابداری بیشتر می‌گردد و بنابراین افزایش سختی برای رسیدن به حالت پایدارتر خودرو می‌باشد. از طرف دیگر مقدار پارامتر انتخاب شده می‌بایست موجب کاهش نیروی وارد بر جاده از طرف تایر گردد. بنابراین می‌توان در سیستمهای غیر فعال ابتدا با توجه به مشخصات خودرو مسئله تغییر فرم تایر را بررسی 35 نمود و سپس با توجه به منحنیهای مبادله بین شتاب و تغییر فرم تعلیق مسئله ایزووله نمودن را تا حد امکان ارضاء و در نهایت تأثیر پارامترهای انتخاب شده را در هندلینگ خودرو برسی کرد و در صورت رفتار نامناسب در پایداری مقدار بدست آمده را تغییر داد.

تأثیر پارامترهای بدست آمده در مدل ۸ درجه آزادی جهت بررسی مسئله راحتی سرنوشنین در شکل‌های (۱۸ و ۱۷) نمایش داده شده است.

1	0	0	0	0	0	0	0	0
0	1	0	0	0	0	0	0	0
0	0	1	0	0	0	0	0	0
0	0	0	1	0	0	0	0	0
0	0	0	0	0	1	0	0	0
0	0	0	0	0	0	1	0	0
0	0	0	0	0	0	0	1	0
0	0	0	0	0	0	0	0	1
$\frac{c_{s1} + c_{u1}}{m_{u1}}$	0	0	0	$\frac{c_{s1}}{m_{u1}}$	$\frac{bc_{s1}}{m_{u1}}$	$\frac{t_r c_{s1}}{2m_{u1}}$	0	
0	$-\frac{c_{s1} + c_{u2}}{m_{u2}}$	0	0	$\frac{c_{s2}}{m_{u2}}$	$\frac{bc_{s2}}{m_{u2}}$	$\frac{t_r c_{s2}}{2m_{u2}}$	0	
0	0	$-\frac{c_{s3} + c_{u3}}{m_{u3}}$	0	$\frac{c_{s3}}{m_{u3}}$	$\frac{ac_{s3}}{m_{u3}}$	$\frac{t_r c_{s3}}{2m_{u3}}$	0	
0	0	0	$-\frac{c_{s4} + c_{u4}}{m_{u4}}$	$\frac{c_{s4}}{m_{u4}}$	$\frac{bc_{s4}}{m_{u4}}$	$\frac{t_r c_{s4}}{2m_{u4}}$	0	
$\frac{c_{s1}}{m_s}$	$\frac{c_{s2}}{m_s}$	$\frac{c_{s3}}{m_s}$	$\frac{c_{s4}}{m_s}$	$-\frac{c_{s1} + c_{s2} + c_{s3} + c_{s4} + c_p}{m_s}$	$\frac{ac_{s1} - bc_{s2} + ac_{s3} - bc_{s4} + dc_p}{m_s}$	$-\frac{t_r c_{s1} + t_r c_{s2} - t_r c_{s3} - t_r c_{s4}}{2m_s}$	$\frac{c_p}{m_s}$	
$\frac{aC_{s1}}{I_{yy}}$	$\frac{bC_{s2}}{I_{yy}}$	$\frac{aC_{s3}}{I_{yy}}$	$\frac{bC_{s4}}{I_{yy}}$	$\frac{ac_{s1} - bc_{s2} + ac_{s3} - bc_{s4} + dc_p}{I_{yy}}$	$\frac{a^2c_{s1} + b^2c_{s2} + a^2c_{s3} + b^2c_{s4} + d^2c_p}{I_{yy}}$	$\frac{at_r c_{s1} - bt_r c_{s2} - at_r c_{s3} + bt_r c_{s4}}{2I_{yy}}$	$\frac{dc_p}{I_{yy}}$	
$\frac{t_r C_{s1}}{2I_{xx}}$	$\frac{t_r C_{s2}}{2I_{xx}}$	$\frac{t_r C_{s3}}{2I_{xx}}$	$\frac{t_r C_{s4}}{2I_{xx}}$	$\frac{t_r c_{s1} + t_x c_{s2} - t_r c_{s3} - t_x c_{s4} - 2ec_p}{2I_{xx}}$	$\frac{t_r c_{s1} + t_x c_{s2} - t_r c_{s3} - t_x c_{s4} - 2ec_p}{2I_{xx}}$	$\frac{t_r c_{s1} + t_x c_{s2} - t_r c_{s3} - t_x c_{s4} - 2ec_p}{2I_{xx}}$	$\frac{ec_p}{I_{xx}}$	
0	0	0	0	$\frac{c_p}{m_p}$	$-\frac{dc_p}{m_p}$	$\frac{ec_p}{m_p}$	$\frac{c_p}{m_p}$	

0	0	0	0	0	0	0	0
0	0	0	0	0	0	0	0
0	0	0	0	0	0	0	0
0	0	0	0	0	0	0	0
0	0	0	0	0	0	0	0
0	0	0	0	0	0	0	0
0	0	0	0	0	0	0	0
0	0	0	0	0	0	0	0
$\frac{k_{u1} + k_{s1}}{m_{u1}}$	0	0	0	$\frac{k_{s1}}{m_{u1}}$	$\frac{ak_{s1}}{m_{u1}}$	$\frac{t_r K_{s1}}{2m_{u1}}$	0
0	$\frac{k_{u2} + k_{s2}}{m_{u2}}$	0	0	$\frac{k_{s2}}{m_{u2}}$	$\frac{bk_{s2}}{m_{u2}}$	$\frac{t_r K_{s2}}{2m_{u2}}$	0
A =	0	$\frac{k_{u3} + k_{s3}}{m_{u3}}$	0	$\frac{k_{s3}}{m_{u3}}$	$\frac{ak_{s3}}{m_{u3}}$	$\frac{t_r K_{s3}}{2m_{u3}}$	0
0	0	0	$\frac{k_{u4} + k_{s4}}{m_{u4}}$	$\frac{k_{s4}}{m_{u4}}$	$\frac{bk_{s4}}{m_{u4}}$	$\frac{t_r K_{s4}}{2m_{u4}}$	0
$\frac{k_{s1}}{m_s}$	$\frac{k_{s2}}{m_s}$	$\frac{k_{s3}}{m_s}$	$\frac{k_{s4}}{m_s}$	$\frac{k_{s1} + k_{s2} + k_{s3} + k_{s4} + k_p}{m_s}$	$\frac{ak_{s1} \cdot bk_{s2} + ak_{s3} \cdot bk_{s4} + dk_p}{m_s}$	$\frac{t_r k_{s1} + t_r k_{s2} - t_r k_{s3} \cdot t_r k_{s4}}{2m_s}$	$\frac{k_p}{m_p}$
$\frac{ak_{s1}}{l_{yy}}$	$\frac{bk_{s2}}{l_{yy}}$	$\frac{ak_{s3}}{l_{yy}}$	$\frac{bk_{s4}}{l_{yy}}$	$\frac{ak_{s1} \cdot bk_{s2} + ak_{s3} \cdot bk_{s4} + dk_p}{l_{yy}}$	$\frac{a^2 k_{s1} + b^2 k_{s2} + a^2 k_{s3} + b^2 k_{s4} + d^2 k_p}{l_{yy}}$	$\frac{at_r k_{s1} \cdot bt_r k_{s2} - at_r k_{s3} \cdot bt_r k_{s4}}{2l_{yy}}$	$\frac{dk_p}{l_{yy}}$
$\frac{t_r k_{s1}}{2l_{xx}}$	$\frac{t_r k_{s2}}{2l_{xx}}$	$\frac{t_r k_{s3}}{2l_{xx}}$	$\frac{t_r k_{s4}}{2l_{xx}}$	$\frac{t_r k_{s1} + t_r k_{s2} - t_r k_{s3} \cdot t_r k_{s4} - 2ek_p}{2l_{xx}}$	$\frac{t_r k_{s1} + t_r k_{s2} - t_r k_{s3} \cdot t_r k_{s4} - 2ek_p}{2l_{xx}}$	$\frac{t_r k_{s1} + t_r k_{s2} - t_r k_{s3} \cdot t_r k_{s4} - 2ek_p}{2l_{xx}}$	$\frac{ek_p}{l_{xx}}$
0	0	0	0	$\frac{k_p}{m_p}$	$\frac{dk_p}{m_p}$	$\frac{ek_p}{m_p}$	$\frac{k_p}{m_p}$

TABLE 1

$ks1 = 37604.25$	$ks2 = 50437.44$	$ks3 = 50437.44$	$ks4 = 37604.25$	N/m
$Cs1 = 1951.08$	$Cs2 = 2058.34$	$Cs3 = 2058.34$	$Cs4 = 1951.08$	$N.s/m$
$Ku1 = 157617$	$Ku2 = 157617$	$Ku3 = 157617$	$Ku4 = 157617$	N/m
$tf = 1.45$	$tr = 1.35$	$a = 0.938$	$b = 1.456$	m
$m = 1350$	$Ms = 1120$	$Mu1 = 45$	$Mu2 = 70$	$Mu3 = 70$
			$Mu4 = 45$	kg
	$Ix = 323$	$Iy = 1254$	$Iz = 1610$	$Kg.m^2$
$Kp = 10000$	N/m	$Cp = 800$	$N.s/m$	$d = 0.5 m$
				$e = 0.3 m$
				$Mp = 60$
				Kg
$g1 = -0.4$	$g2 = -0.1$	m/rad	$e1 = 0$	$e2 = 0$
			rad/rad	$\hat{C}_1 = 4000$
				$\hat{C}_2 = 4000$
				N/rad
$c_{\phi 1} = 800$		$c_{\phi 2} = 900$	$N.m.s/rad$	$k_{\phi 1} = 6000$
				$k_{\phi 2} = 10250$
				$N.m/rad$
FOR UNDER STEER				
$\hat{T}_1 = -1280$		$\hat{T}_2 = -1120$	$N.m/rad$	$c1 = 64000$
				$c2 = 56000$
FOR OVER STEER				
$\hat{T}_1 = -1120$		$\hat{T}_2 = -1280$	$N.m/rad$	$c1 = 56000$
				$c2 = 64000$

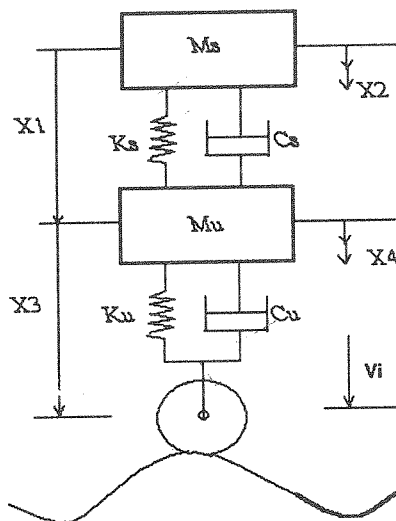
$$B = \begin{bmatrix} 0 & 0 & 0 & 0 & 0 & 0 & 0 & 0 \\ 0 & 0 & 0 & 0 & 0 & 0 & 0 & 0 \\ 0 & 0 & 0 & 0 & 0 & 0 & 0 & 0 \\ 0 & 0 & 0 & 0 & 0 & 0 & 0 & 0 \\ 0 & 0 & 0 & 0 & 0 & 0 & 0 & 0 \\ 0 & 0 & 0 & 0 & 0 & 0 & 0 & 0 \\ 0 & 0 & 0 & 0 & 0 & 0 & 0 & 0 \\ 0 & 0 & 0 & 0 & 0 & 0 & 0 & 0 \\ \frac{k_{u1}}{m_{u1}} & \frac{C_{u1}}{m_{u1}} & 0 & 0 & 0 & 0 & 0 & 0 \\ 0 & 0 & \frac{k_{u2}}{m_{u2}} & \frac{C_{u2}}{m_{u2}} & 0 & 0 & 0 & 0 \\ 0 & 0 & 0 & 0 & \frac{k_{u3}}{m_{u3}} & \frac{C_{u3}}{m_{u3}} & 0 & 0 \\ 0 & 0 & 0 & 0 & 0 & 0 & \frac{k_{u4}}{m_{u4}} & \frac{C_{u4}}{m_{u4}} \\ 0 & 0 & 0 & 0 & 0 & 0 & 0 & 0 \\ 0 & 0 & 0 & 0 & 0 & 0 & 0 & 0 \\ 0 & 0 & 0 & 0 & 0 & 0 & 0 & 0 \\ 0 & 0 & 0 & 0 & 0 & 0 & 0 & 0 \end{bmatrix}$$

$$A = \begin{bmatrix} 0 & 0 & 0 & 0 & 0 & 0 & 0 & 0 \\ 0 & 0 & 0 & 0 & 0 & 0 & 0 & 0 \\ 0 & 0 & 0 & 0 & 0 & 0 & 0 & 0 \\ 0 & 0 & 0 & 0 & 0 & 0 & 0 & 0 \\ 0 & 0 & 0 & 0 & 0 & 0 & 0 & 0 \\ 0 & 0 & 0 & 0 & 0 & 0 & 0 & 0 \\ 0 & 0 & 0 & 0 & 0 & 0 & 0 & 0 \\ 0 & 0 & 0 & 0 & 0 & 0 & 0 & 0 \\ \frac{k_{s1} + k_{s1}}{m_{u1}} & 0 & 0 & 0 & \frac{k_{s1}}{m_{u1}} & \frac{ak_{s1}}{m_{u1}} & \frac{\tau_1 K_{s1}}{2m_{u1}} & 0 \\ 0 & \frac{k_{s2} + k_{s2}}{m_{u2}} & 0 & 0 & \frac{k_{s2}}{m_{u2}} & \frac{bk_{s2}}{m_{u2}} & \frac{\tau_1 K_{s2}}{2m_{u2}} & 0 \\ 0 & 0 & \frac{k_{s3} + k_{s3}}{m_{u3}} & 0 & \frac{k_{s3}}{m_{u3}} & \frac{ak_{s3}}{m_{u3}} & \frac{\tau_1 K_{s3}}{2m_{u3}} & 0 \\ 0 & 0 & 0 & \frac{k_{s4} + k_{s4}}{m_{u4}} & \frac{k_{s4}}{m_{u4}} & \frac{bk_{s4}}{m_{u4}} & \frac{\tau_1 K_{s4}}{2m_{u4}} & 0 \\ \frac{k_{s1}}{m_s} & \frac{k_{s2}}{m_s} & \frac{k_{s3}}{m_s} & \frac{k_{s4}}{m_s} & \frac{k_{s1} + k_{s2} + k_{s3} + k_{s4} + k_p}{m_s} & \frac{ak_{s1} \cdot bk_{s2} + ak_{s3} \cdot bk_{s4} + dk_p}{m_s} & \frac{\tau_1 k_{s1} + \tau_r k_{s2} \cdot \tau_l k_{s3} \cdot \tau_r k_{s4}}{2m_s} & \frac{k_p}{m_s} \\ \frac{ak_{s1}}{l_{yy}} & \frac{bk_{s2}}{l_{yy}} & \frac{ak_{s3}}{l_{yy}} & \frac{bk_{s4}}{l_{yy}} & \frac{ak_{s1} \cdot bk_{s2} + ak_{s3} \cdot bk_{s4} + dk_p}{l_{yy}} & \frac{a^2 k_{s1} + b^2 k_{s2} + a^2 k_{s3} + b^2 k_{s4} + d^2 k_p}{l_{yy}} & \frac{a\tau_1 k_{s1} - b\tau_r k_{s2} - a\tau_l k_{s3} + b\tau_r k_{s4}}{2l_{yy}} & \frac{dk_p}{l_{yy}} \\ \frac{\tau_1 k_{s1}}{2l_{xx}} & \frac{\tau_r k_{s2}}{2l_{xx}} & \frac{\tau_l k_{s3}}{2l_{xx}} & \frac{\tau_r k_{s4}}{2l_{xx}} & \frac{\tau_1 k_{s1} + \tau_r k_{s2} \cdot \tau_l k_{s3} \cdot \tau_r k_{s4} \cdot 2ek_p}{2l_{xx}} & \frac{\tau_1 k_{s1} + \tau_2 k_{s2} \cdot \tau_l k_{s3} \cdot \tau_r k_{s4} \cdot 2ek_p}{2l_{xx}} & \frac{\tau_1 k_{s1} + \tau_2 k_{s2} \cdot \tau_l k_{s3} \cdot \tau_r k_{s4} \cdot 2ek_p}{2l_{xx}} & \frac{ek_p}{l_{xx}} \\ 0 & 0 & 0 & 0 & \frac{k_p}{m_p} & \frac{dk_p}{m_p} & \frac{ek_p}{m_p} & \frac{k_p}{m_p} \end{bmatrix}$$

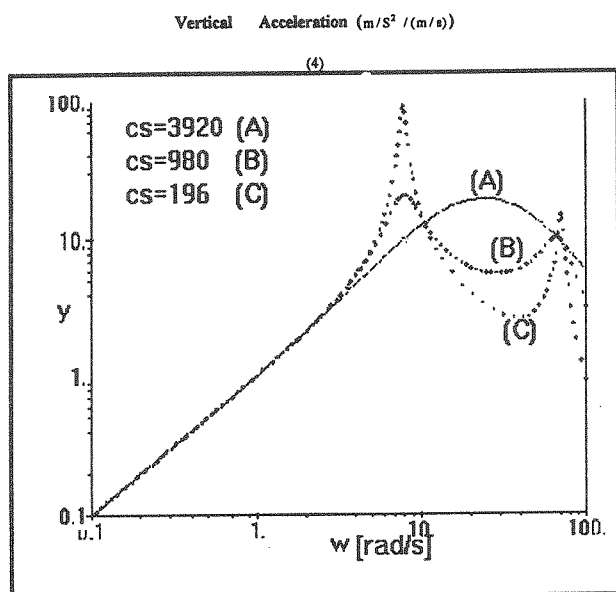
TABLE 1

$ks1 = 37604.25$	$ks2 = 50437.44$	$ks3 = 50437.44$	$ks4 = 37604.25 \text{ N/m}$			
$Cs1 = 1951.08$	$Cs2 = 2058.34$	$Cs3 = 2058.34$	$Cs4 = 1951.08 \text{ N.s/m}$			
$Ku1 = 157617$	$Ku2 = 157617$	$Ku3 = 157617$	$Ku4 = 157617 \text{ N/m}$			
$tf = 1.45$	$tr = 1.35$	$a = 0.938$	$b = 1.456 \text{ m}$			
$m = 1350$	$Ms = 1120$	$Mu1 = 45$	$Mu2 = 70$	$Mu3 = 70$	$Mu4 = 45$	kg
$Ix = 323$	$Iy = 1254$	$Iz = 1610$	Kg.m^2			
$Kp = 10000 \text{ N/m}$	$Cp = 800 \text{ N.s/m}$	$d = 0.5 \text{ m}$	$e = 0.3 \text{ m}$	$Mp = 60 \text{ Kg}$		
$g1 = -0.4$	$g2 = -0.1 \text{ m/rad}$	$e1 = 0$	$e2 = 0 \text{ rad/rad}$	$\hat{C}_1 = 4000$	$\hat{C}_2 = 4000 \text{ N/rad}$	
$c_{\phi 1} = 800$	$c_{\phi 2} = 900 \text{ N.m.s/rad}$	$k_{\phi 1} = 6000$	$k_{\phi 2} = 10250 \text{ N.m/rad}$			
FOR UNDER STEER						
$\hat{T}_1 = -1280$	$\hat{T}_2 = -1120 \text{ N.m/rad}$	$c1 = 64000$	$c2 = 56000 \text{ N/rad}$			
FOR OVER STEER						
$\hat{T}_1 = -1120$	$\hat{T}_2 = -1280 \text{ N.m/rad}$	$c1 = 56000$	$c2 = 64000 \text{ N/rad}$			

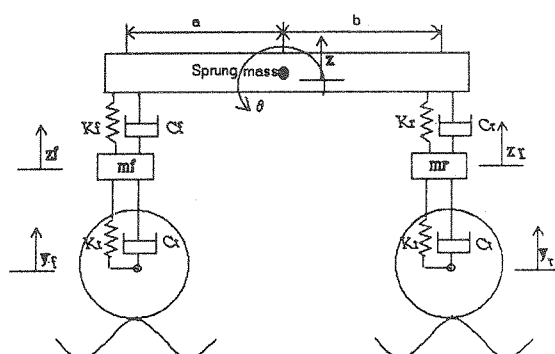
$$\mathbf{B} = \left[\begin{array}{ccccccccc} 0 & 0 & 0 & 0 & 0 & 0 & 0 & 0 \\ 0 & 0 & 0 & 0 & 0 & 0 & 0 & 0 \\ 0 & 0 & 0 & 0 & 0 & 0 & 0 & 0 \\ 0 & 0 & 0 & 0 & 0 & 0 & 0 & 0 \\ 0 & 0 & 0 & 0 & 0 & 0 & 0 & 0 \\ 0 & 0 & 0 & 0 & 0 & 0 & 0 & 0 \\ 0 & 0 & 0 & 0 & 0 & 0 & 0 & 0 \\ 0 & 0 & 0 & 0 & 0 & 0 & 0 & 0 \\ \frac{k_{u1}}{m_{u1}} & \frac{c_{u1}}{m_{u1}} & 0 & 0 & 0 & 0 & 0 & 0 \\ 0 & 0 & \frac{k_{u2}}{m_{u2}} & \frac{c_{u2}}{m_{u2}} & 0 & 0 & 0 & 0 \\ 0 & 0 & 0 & 0 & \frac{k_{u3}}{m_{u3}} & \frac{c_{u3}}{m_{u3}} & 0 & 0 \\ 0 & 0 & 0 & 0 & 0 & 0 & \frac{k_{u4}}{m_{u4}} & \frac{c_{u4}}{m_{u4}} \\ 0 & 0 & 0 & 0 & 0 & 0 & 0 & 0 \\ 0 & 0 & 0 & 0 & 0 & 0 & 0 & 0 \\ 0 & 0 & 0 & 0 & 0 & 0 & 0 & 0 \\ 0 & 0 & 0 & 0 & 0 & 0 & 0 & 0 \end{array} \right]$$



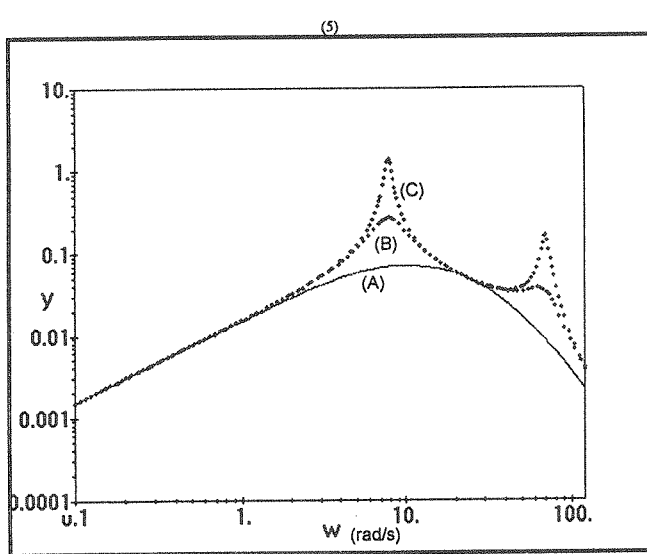
شکل (۱) مدل یک - چهارم خودرو



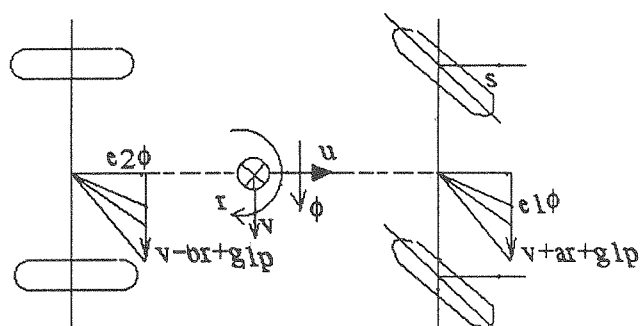
شکل (۴) تأثیر میرانی روی شتاب عمودی بر حسب فرکانس



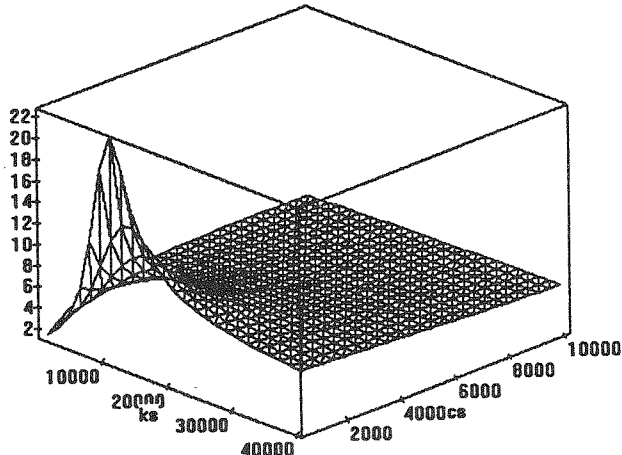
شکل (۲) مدل نیم خودرو



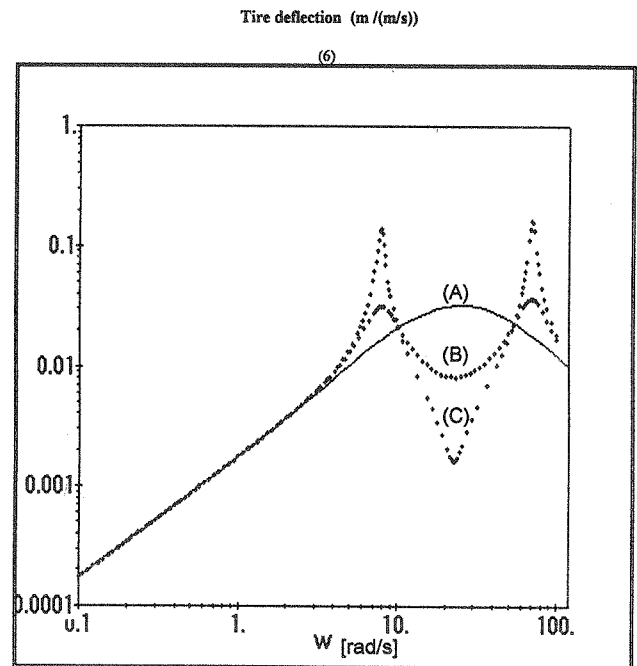
شکل (۵) تأثیر میرانی روی جابجایی سیستم تعليق بر حسب فرکانس



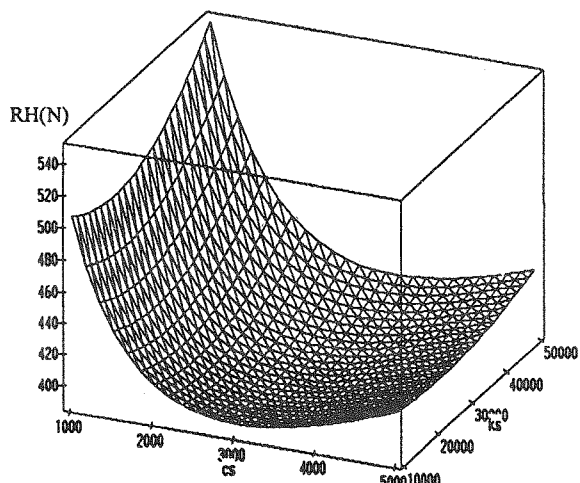
شکل (۳) مدل هندلینگ



شکل (۸) انتقال پذیری سه بعدی

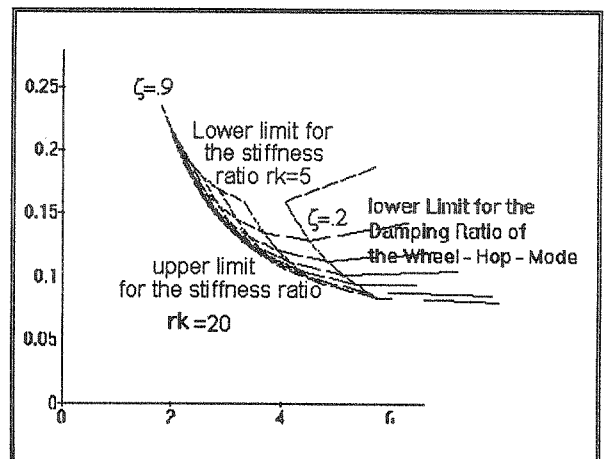


شکل (۶) تأثیر میرانی روی جابجایی تایر بر حسب فرکانس

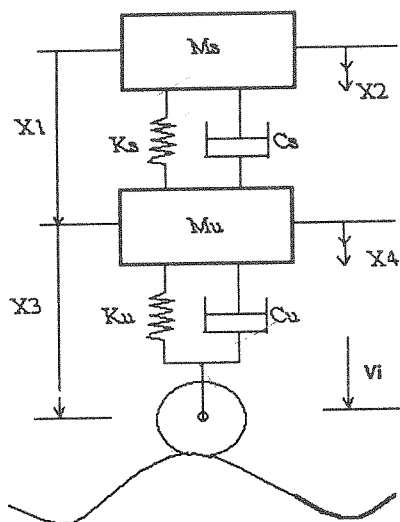


شکل (۹) چسبندگی به جاده بر حسب K_s , C_s

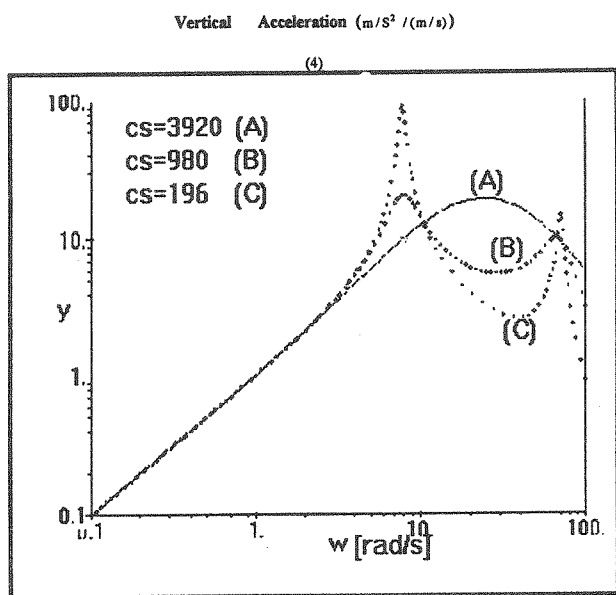
The feasible Performance space for a Passive Suspension



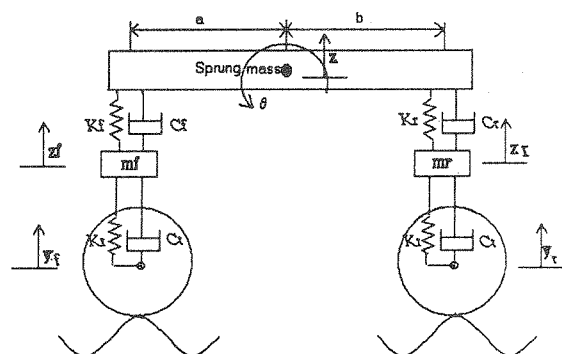
شکل (۷) رابطه بین محدوده میانگین ریشه (r_{ms}) شتاب و فضای بازی سیستم تعليق (نسبت جرم 0.15)



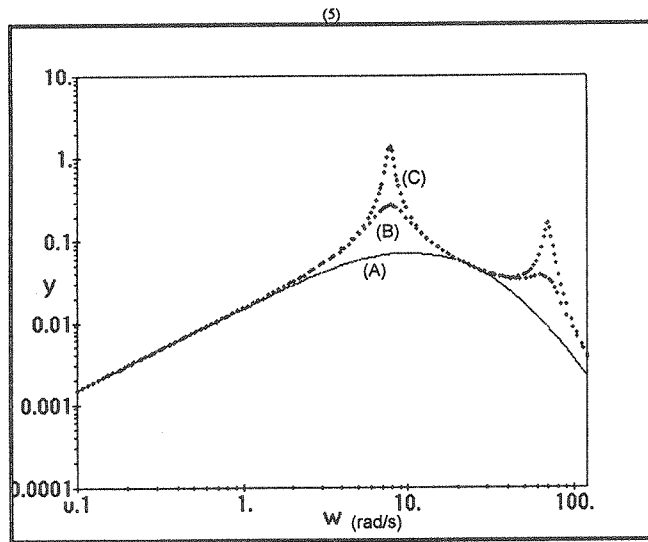
شکل (۱) مدل یک - چهارم خودرو



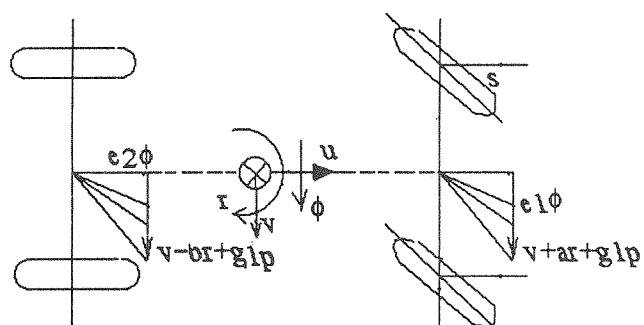
شکل (۴) تأثیر میرانی روی شتاب عمودی بر حسب فرکانس



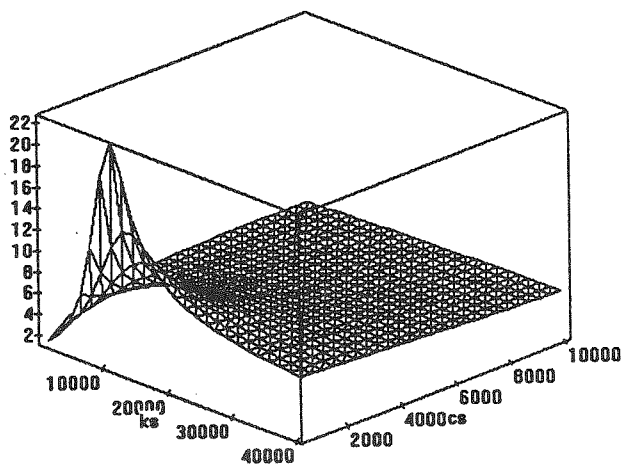
شکل (۲) مدل نیم خودرو



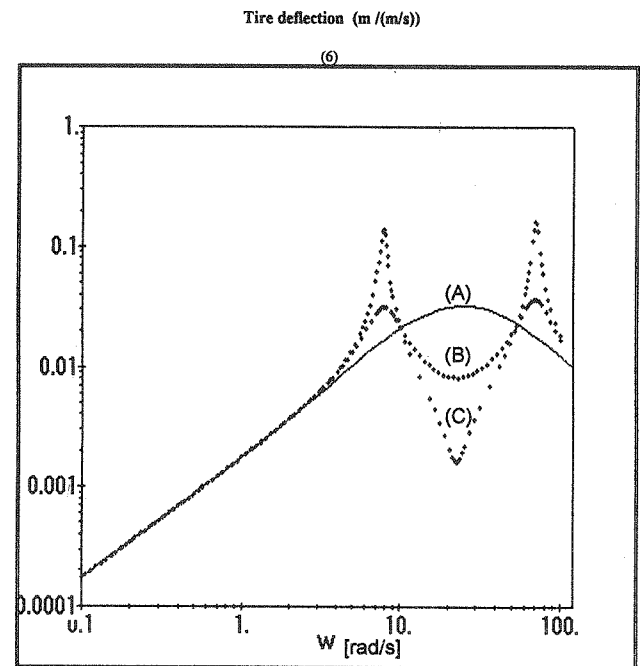
شکل (۵) تأثیر میرانی روی جابجایی سیستم تعليق بر حسب فرکانس



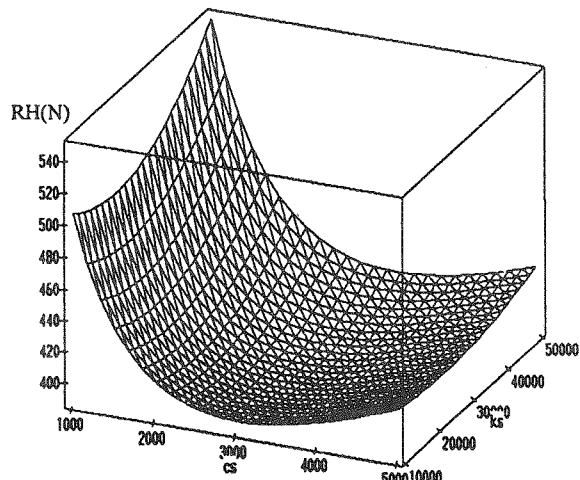
شکل (۳) مدل هندلینگ



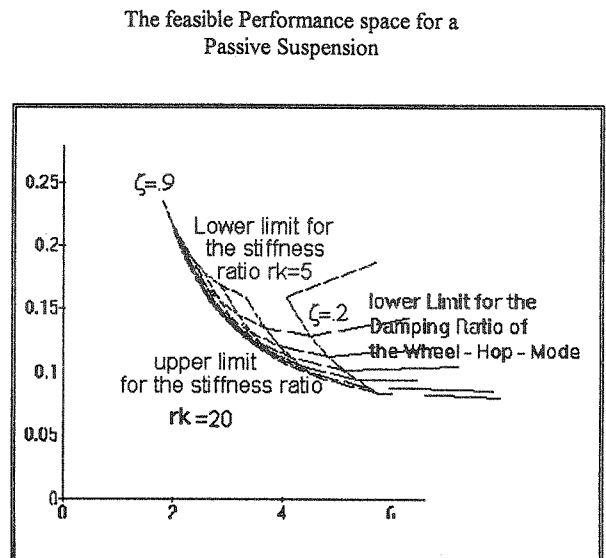
شکل (۸) انتقال پذیری سه بعدی



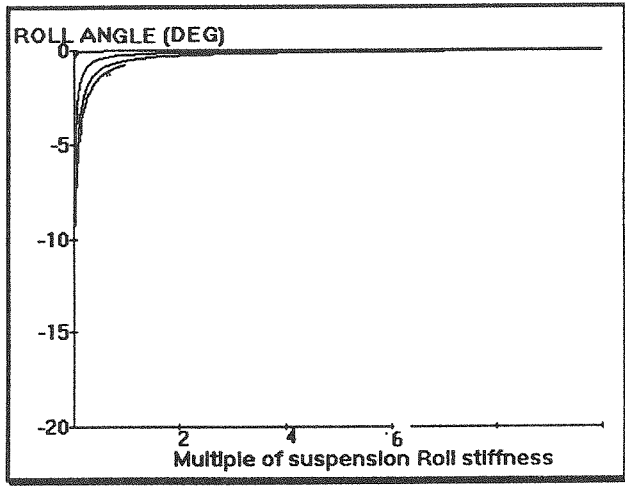
شکل (۶) تأثیر میراثی روی جابجایی تایر بر حسب فرکانس



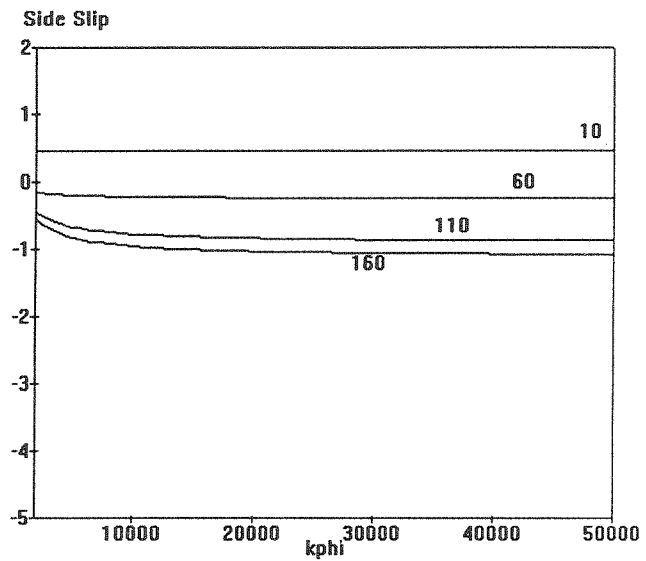
شکل (۹) چسبندگی به جاده بر حسب K_s , C_s



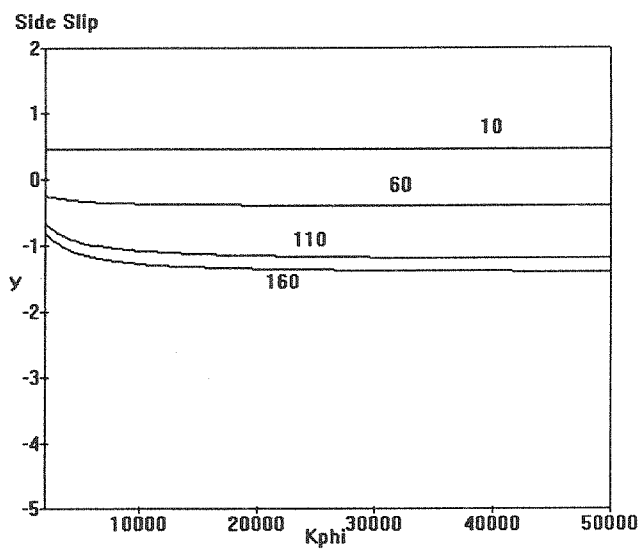
شکل (۷) رابطه بین محدوده میانگین ریشه (r_{ms}) شتاب و فضای بازی سیستم تعليق (نسبت جرم ۰.۱۵)



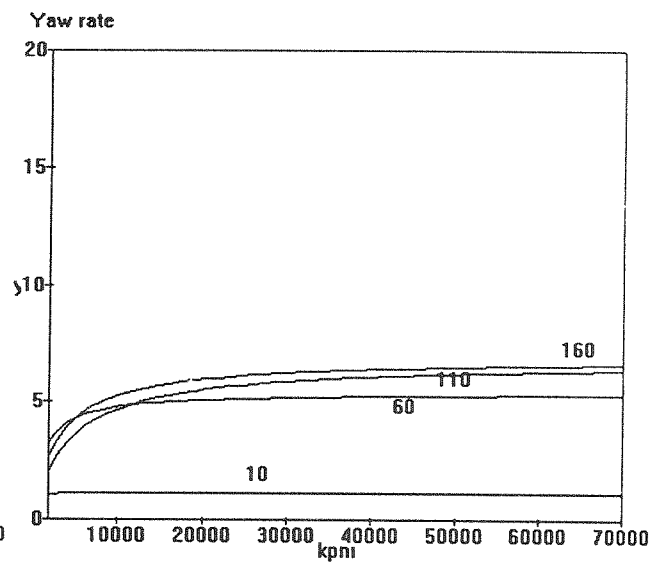
شکل (۱۲) مقادیر حالت یکنواخت زاویه غلتش برای سختی غلتش و سرعت‌های طولی مختلف (زیرفرمانی)



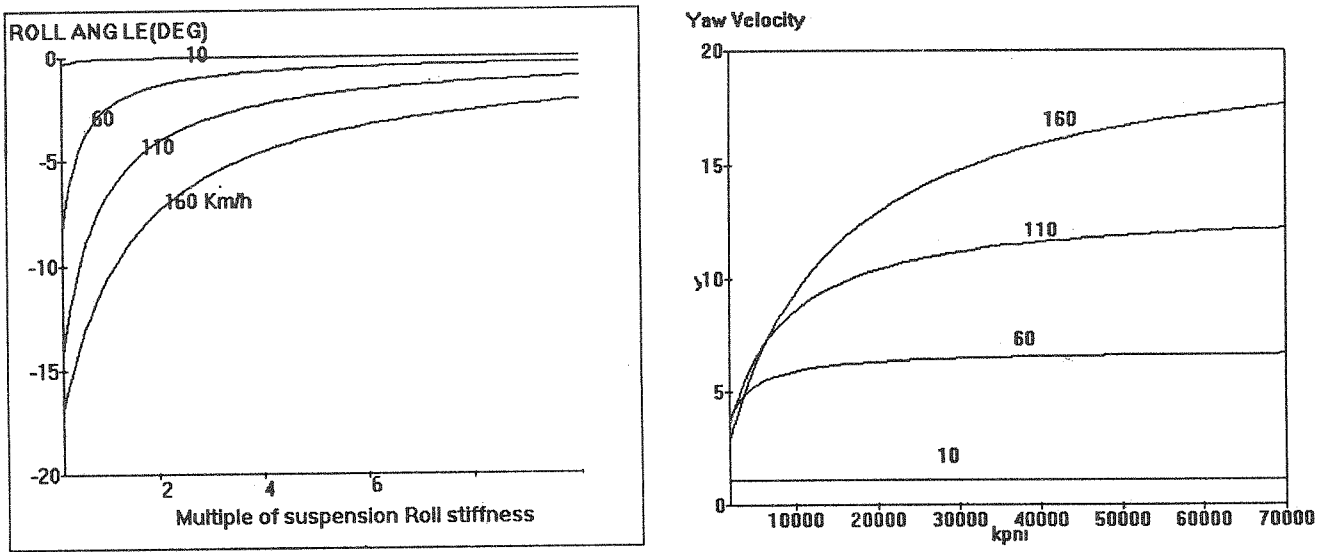
شکل (۱۰) مقادیر حالت یکنواخت زاویه لغزش جانبی خودرو برای سختی غلتش و سرعت‌های طولی مختلف (زیرفرمانی)



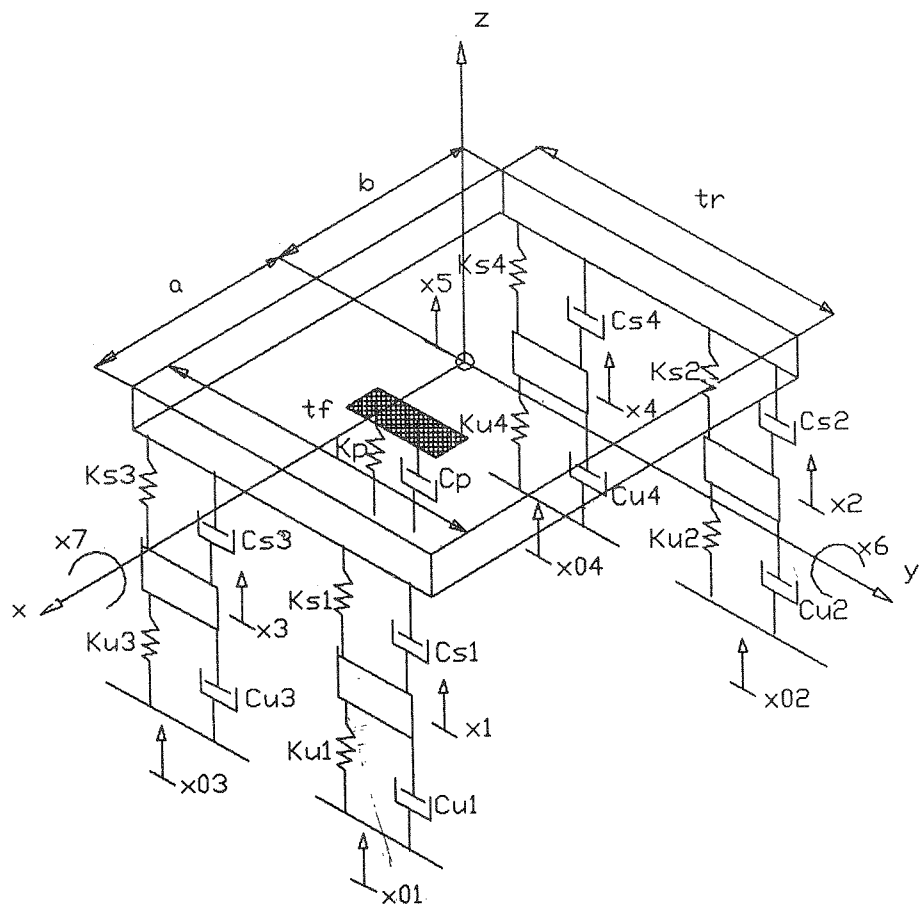
شکل (۱۳) مقادیر حالت یکنواخت زاویه لغزش جانبی خودرو برای سختی غلتش و سرعت‌های طولی مختلف (بیشفرمانی)



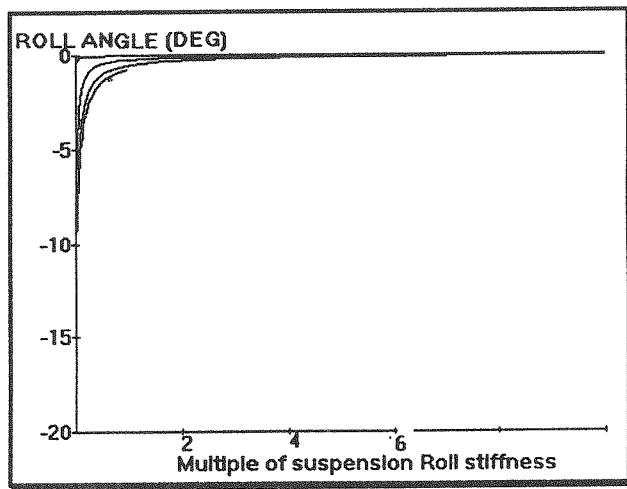
شکل (۱۱) مقادیر حالت یکنواخت نرخ یا و برای سختی غلتش و سرعت‌های طولی مختلف (بیشفرمانی)



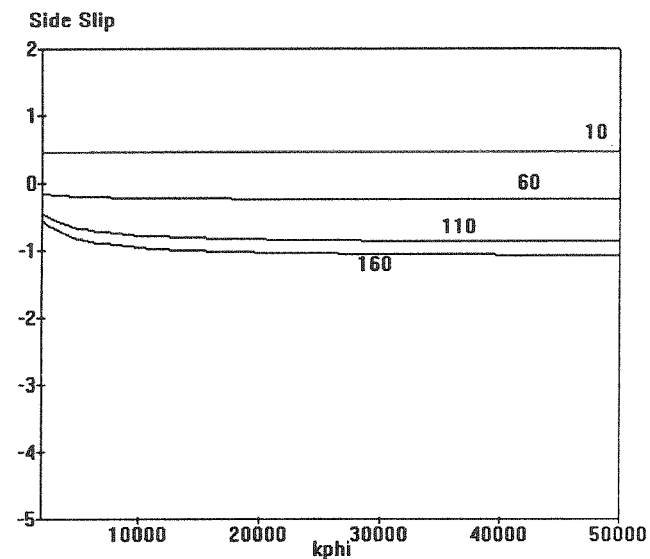
شکل (۱۵) مقادیر حالت یکنواخت زاویه غلتش برای سختی غلتش و سرعت‌های طولی مختلف (بیش فرمانی)



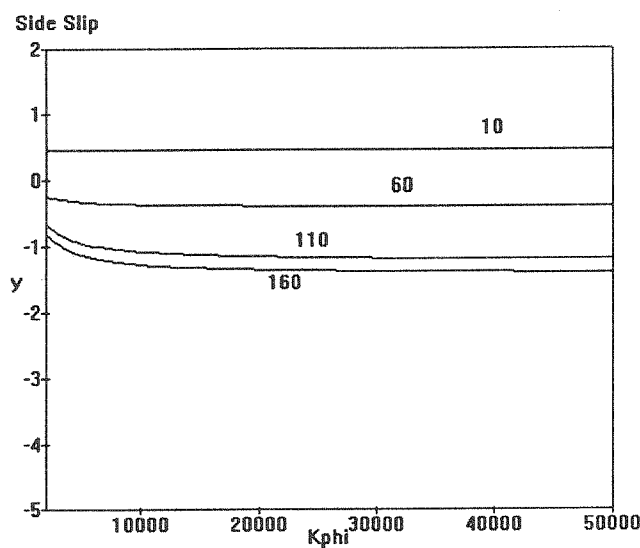
شکل (۱۶) مدل کامل خودرو



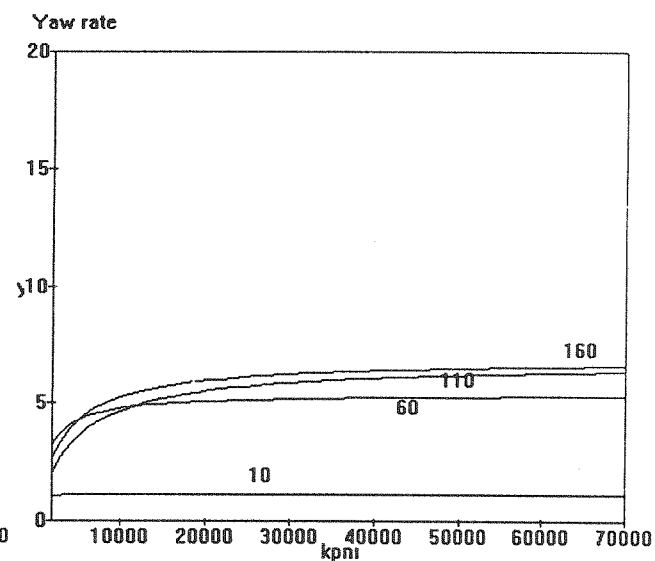
شکل (۱۲) مقادیر حالت یکنواخت زاویه غلتش برای سختی غلتش و سرعت‌های طولی مختلف (زیرفرمانی)



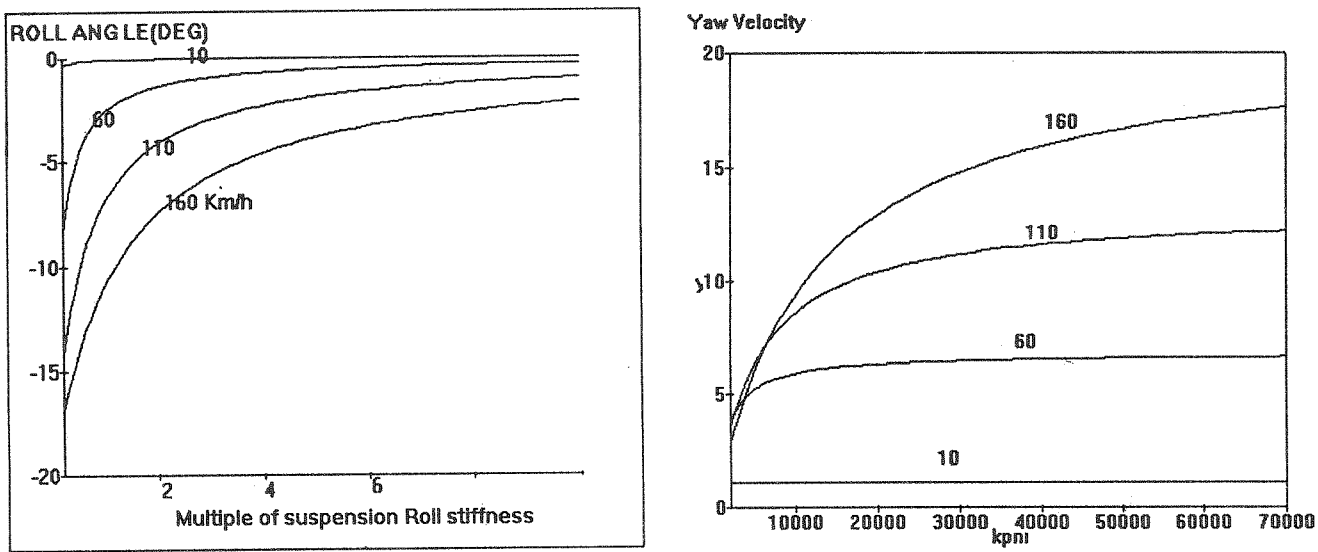
شکل (۱۰) مقادیر حالت یکنواخت زاویه لغزش جانبی خودرو برای سختی غلتش و سرعت‌های طولی مختلف (زیرفرمانی)



شکل (۱۳) مقادیر حالت یکنواخت زاویه لغزش جانبی خودرو برای سختی غلتش و سرعت‌های طولی مختلف (بیش فرمانی)

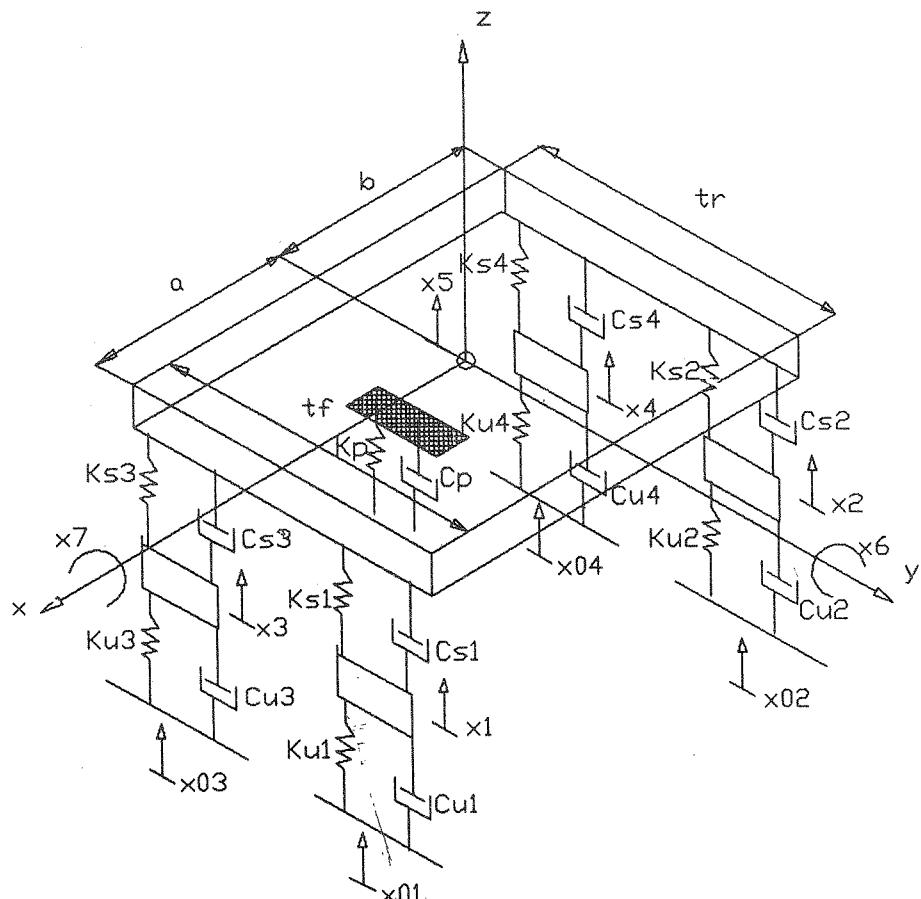


شکل (۱۱) مقادیر حالت یکنواخت نرخ یا و برای سختی غلتش و سرعت‌های طولی مختلف (بیش فرمانی)

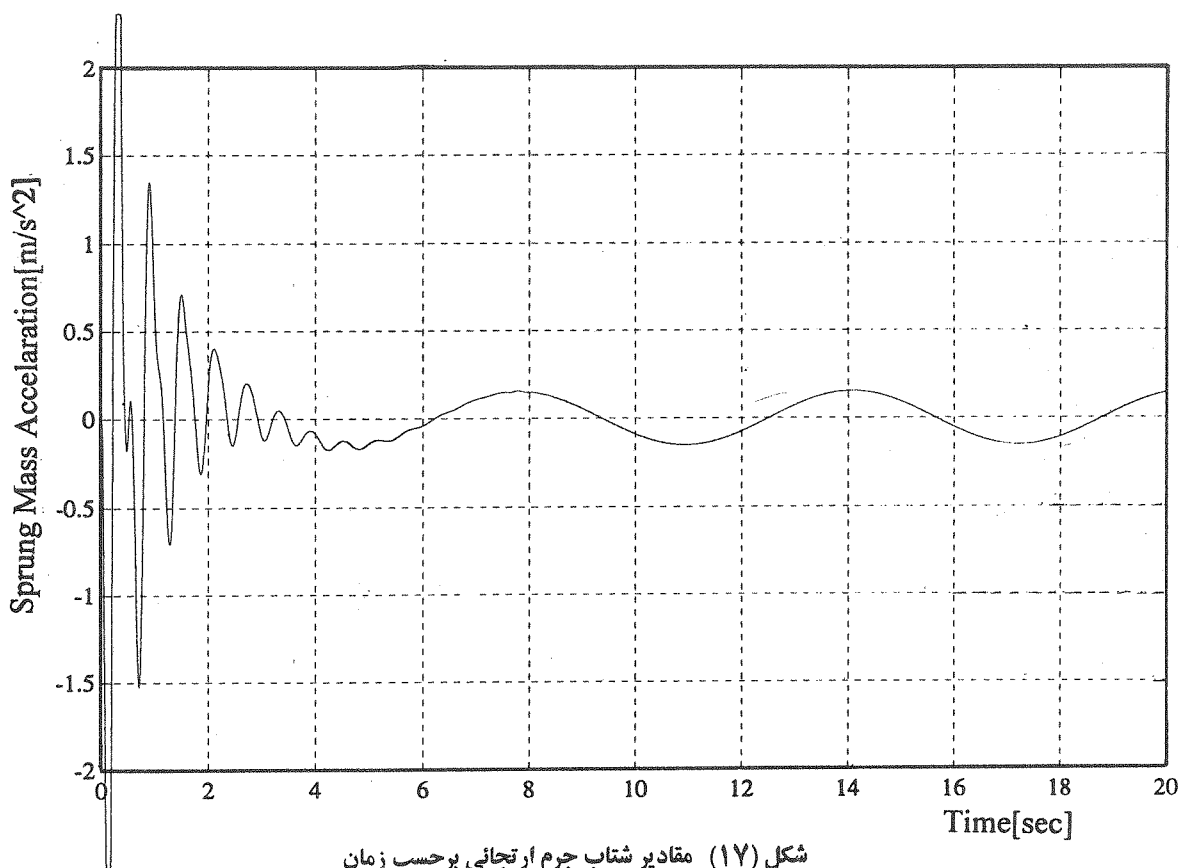


شکل (۱۵) مقادیر حالت یکنواخت زاویه غلتش برای سختی غلتش و سرعت‌های طولی مختلف (بیش فرمانی)

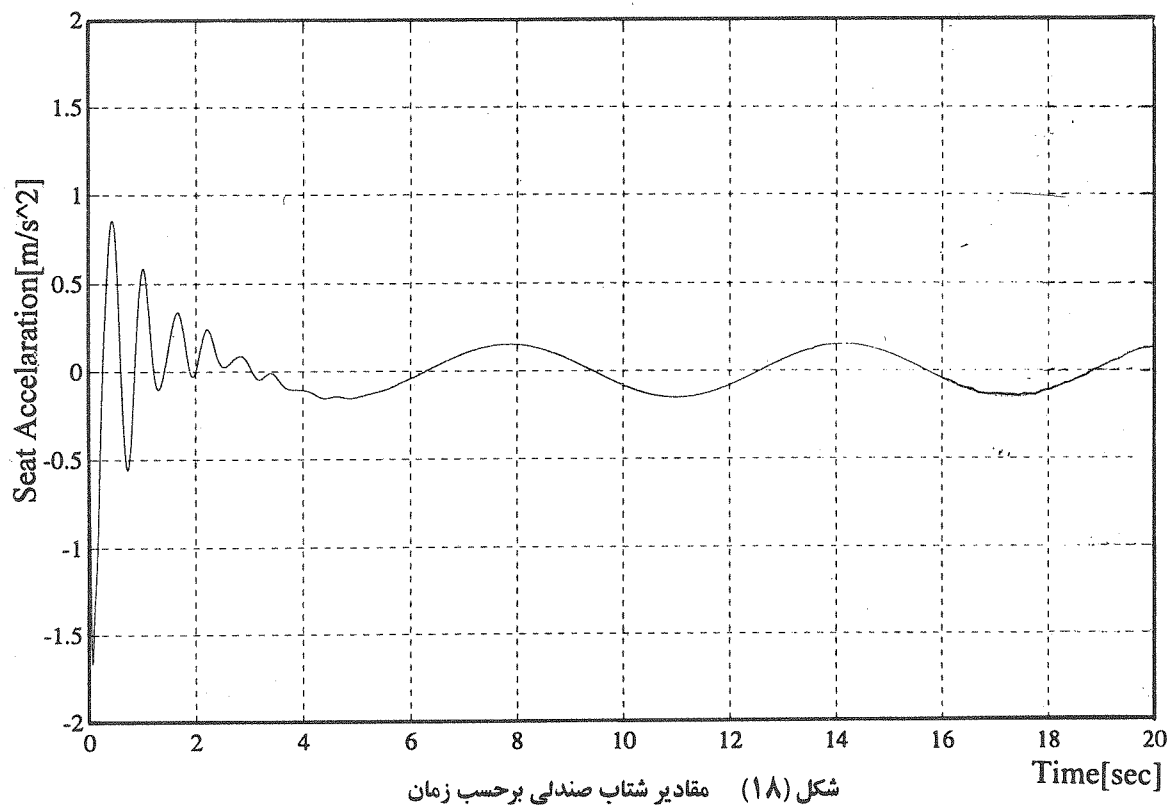
شکل (۱۶) مقادیر حالت یکنواخت نرخ یا و برای سختی غلتش و سرعت‌های طولی مختلف (بیش فرمانی)



شکل (۱۶) مدل کامل خودرو



شکل (۱۷) مقادیر شتاب جرم ارتعانی برحسب زمان



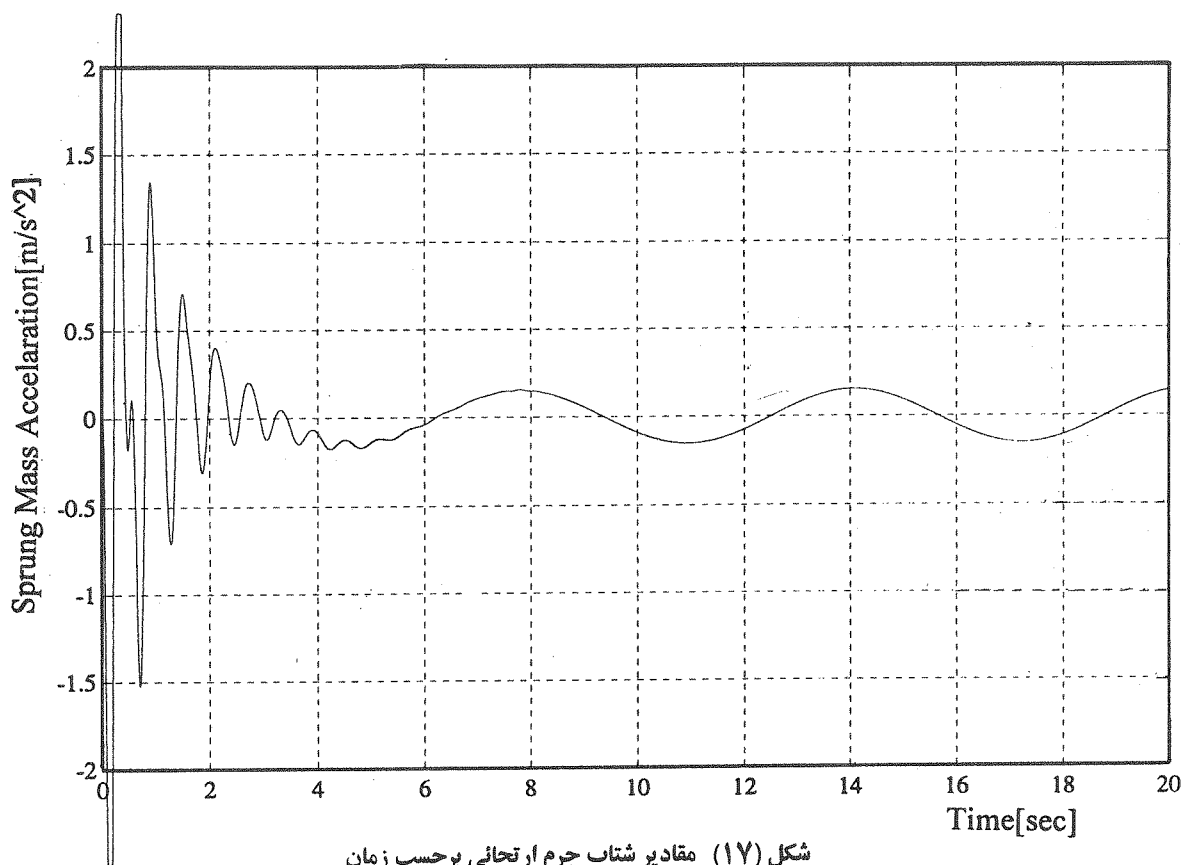
شکل (۱۸) مقادیر شتاب صندلی برحسب زمان

فهرست علائم

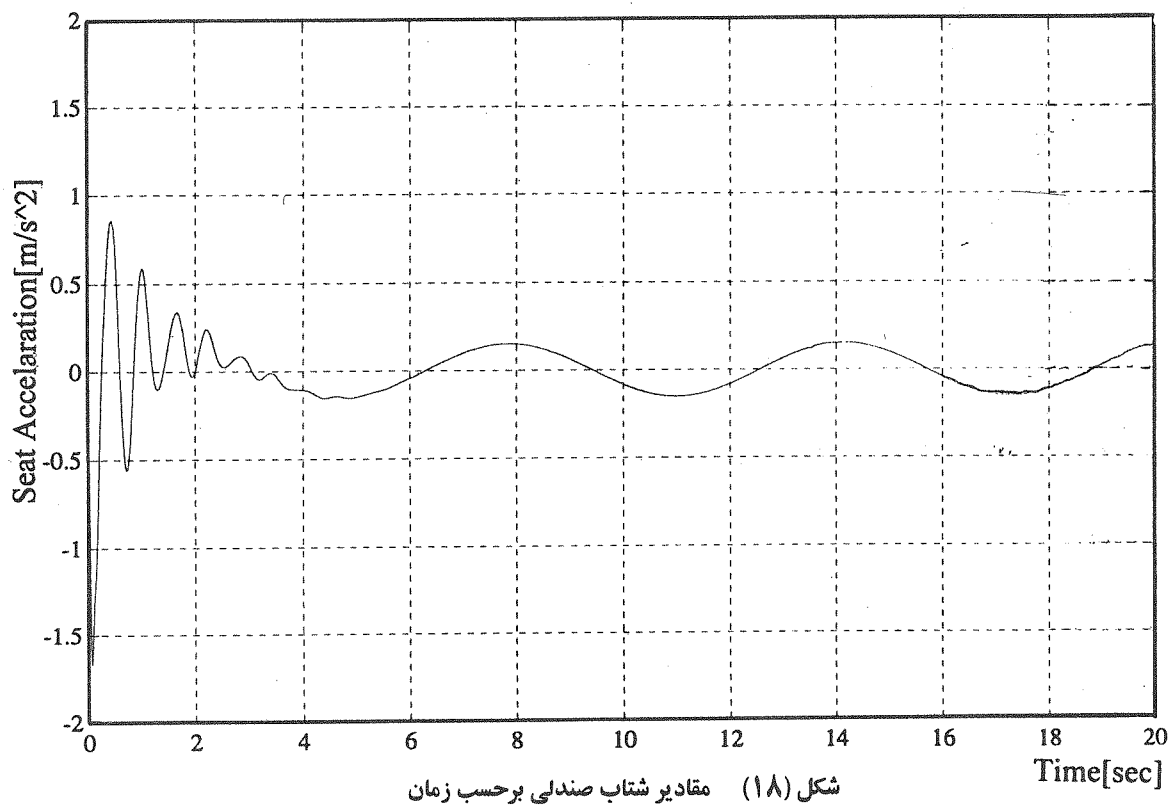
a : فاصله مرکز ثقل از محور جلو (m)	Ms : جرم ارتجاعی (Kg)
b : فاصله مرکز ثقل از محور عقب (m)	Mp : جرم سرنشین (Kg)
c : ضریب نیروی جانبی (N/rad)	Mu : جرم غیرارتجاعی (Kg)
ĉ : ضریب کمبر تایر (N/rad)	P : سرعت غلتی (rad/s)
Cp : ضریب استهلاکی برای سرنشین (N.s/m)	r : سرعت انحراف (rad/s)
Cs : ضریب استهلاکی جرم ارتجاعی (N.s/m)	Ṫ : ضریب ممان تنظیم کننده (N/rad)
Cu : ضریب استهلاکی جرم غیرارتجاعی (N.s/m)	tf : عرض جلوی خودرو (m)
d : فاصله سرنشین از محور x (m)	tr : عرض عقب خودرو (m)
e : فاصله سرنشین از محور y (m)	U : سرعت جلوبرنده مرکز ثقل خودرو (m/s)
Ex : ممان اینرسی حول محور x (Kgm ²)	V : سرعت جانبی مرکز ثقل خودرو (m/s)
Ey : ممان اینرسی حول محور y (Kgm ²)	ẏ : تغییر فرم تایر (rad)
Ez : ممان اینرسی حول محور z (Kgm ²)	β : زاویه لغزش جانبی (rad)
Kp : ضریب سختی برای سرنشین (N/m)	Φ : زاویه غلتش (رول) (rad)
Ks : ضریب سختی جرم ارتجاعی (N/m)	L _φ .. LΦ : ضرایب غلتی (roll)
Ku : ضریب سختی جرم غیرارتجاعی (N/m)	N _φ .. NΦ : ضرایب انحراف
m : جرم کل خودرو (Kg)	Y _φ .. YΦ : ضرایب لغزش جانبی

پابندی

- | | |
|-------------------------|----------------------------|
| 1- Handling | 16- Pitch |
| 2- Road Holding | 17- Unsprung Mass |
| 3- Ride Comfort | 18- Bounce of the Body |
| 4- White Noise | 19- Pitch of the Body |
| 5- Mean Square Response | 20- Hop of the Front Wheel |
| 6- Spectral Density | 21- Hop of the Rear Wheel |
| 7- Suspension Travel | 22- Pitch |
| 8- Trade Off | 23- Bounce |
| 9- Stiffness Ratio | 24- Dynamic Index |
| 10- Damping Ratio | 25- Handling |
| 11- Road Holding | 26- Roll Stiffness |
| 12- Damping Coefficient | 27- Side Slip |
| 13- Road Surface | 28- Yaw Velocity |
| 14- Road Roughness | 29- Roll Angle |
| 15- Damping Coefficient | 30- Under Steer |



شكل (١٧) مقادير شتاب جرم ارتعانی بحسب زمان



شكل (١٨) مقادير شتاب صندلی بحسب زمان

فهرست علائم

(Kg)	جرم ارجاعی	Ms	a : فاصله مرکز ثقل از محور جلو (m)
(Kg)	جرم سرنشین	Mp	b : فاصله مرکز ثقل از محور عقب (m)
(Kg)	جرم غیرارتجاعی	Mu	c : ضریب نیروی جانبی (N/rad)
(rad/s)	سرعت غلتتشی	P	ĉ : ضریب کمتر تایر (N/rad)
(rad/s)	سرعت انحراف	r	Cp : ضریب استهلاکی برای سرنشین (N.s/m)
(N/rad)	ضریب ممان تنظیم کننده	T̂	Cs : ضریب استهلاکی جرم ارجاعی (N.s/m)
(m)	عرض جلوی خودرو	tf	Cu : ضریب استهلاکی جرم غیرارتجاعی (N.s/m)
(m)	عرض عقب خودرو	tr	d : فاصله سرنشین از محور x (m)
(m/s)	سرعت جلوبرنده مرکز ثقل خودرو	U	e : فاصله سرنشین از محور y (m)
(m/s)	سرعت جانبی مرکز ثقل خودرو	V	īx : ممان اینرسی حول محور x (Kgm^2)
(rad)	تغییر فرم تایر	ȳ	īy : ممان اینرسی حول محور y (Kgm^2)
(rad)	زاویه لغزش جانبی	β	īz : ممان اینرسی حول محور z (Kgm^2)
(rad)	زاویه غلتش (رول)	Φ	Kp : ضریب سختی برای سرنشین (N/m)
(L _r ..L _f)	ضرایب غلتش		Ks : ضریب سختی جرم ارجاعی (N/m)
N _r ..N _f	ضرایب انحراف		Ku : ضریب سختی جرم غیرارتجاعی (N/m)
Y _r ..Y _f	ضرایب لغزش جانبی		m : جرم کل خودرو (Kg)

پانویس

1- Handling	16- Pitch
2- Road Holding	17- Unsprung Mass
3- Ride Comfort	18- Bounce of the Body
4- White Noise	19- Pitch of the Body
5- Mean Square Response	20- Hop of the Front Wheel
6- Spectral Density	21- Hop of the Rear Wheel
7- Suspension Travel	22- Pitch
8- Trade Off	23- Bounce
9- Stiffness Ratio	24- Dynamic Index
10- Damping Ratio	25- Handling
11- Road Holding	26- Roll Stiffness
12- Damping Coefficient	27- Side Slip
13- Road Surface	28- Yaw Velocity
14- Road Roughness	29- Roll Angle
15- Damping Coefficient	30- Under Steer

31- Over Steer

34- Damping Ratio

32- Aligning Moment

35- Road Holding

33- Steady State

مراجع

- [1] R.S. Sharp & Crolla, "Road Vehicle Suspension System Design-a review," *Vehicle System Dynamics*, 16(1987), pp. 167-192.
- [2] R.M. Chalasani,"Ride Performance Potential of Active Suspension Systems," PartI: Simplified Analysis Based on a Quarter-Car Model.
- [3] R.S. Sharp and Hassan, S.A. "The Fundamentals of Passive automotive Suspension System Design," *Society of Environmental Engineers Conference on Dynamics in Automotive Engineering*, 1984, 104-115.
- [4] Pinhas Barak, "Design and Evaluation of An Adjustable Automobile Suspension," PP. 129-144.
- [5] "ISO Standard Handbook, Road Vehicle," 1982.
- [6] "Human Vibration," Brue & Kjaer Booklet Revision, 1989.
- [7] H. Fred Chen, Dennis A. Guonther, "The Effect of Suspension Stiffness on Handling Responses," PP. 147-152.
- [8] F.Huang, J. Roger chen, L. Tsai "The Use of Random Steer Test Data for Vehicle Parameter Estimation,"

